

# Tutorium

Elektrodynamik, 3. Semester

Michel Pannier

Kontakt: michel.pannier@uni-jena.de



# Was ist Gegenstand der Elektrodynamik 2

Antwort: Die Maxwell-Gleichungen!

$$\operatorname{rot} \vec{E}(\vec{r}, t) + \partial_t \vec{B}(\vec{r}, t) = 0$$

$$\operatorname{div} \vec{B}(\vec{r}, t) = 0$$

$$\operatorname{div} [\epsilon_0 \vec{E}(\vec{r}, t) + \vec{P}(\vec{r}, t)] = \rho_{\text{ext}}(\vec{r}, t)$$

$$\operatorname{rot} \frac{1}{\mu_0} [\vec{B}(\vec{r}, t) - \vec{M}(\vec{r}, t)] = \partial_t [\epsilon_0 \vec{E}(\vec{r}, t) + \vec{P}(\vec{r}, t)] + \vec{J}_{\text{magnet}}(\vec{r}, t)$$

Meist:  $\vec{D}(\vec{r}, t) := \epsilon_0 \vec{E}(\vec{r}, t) + \vec{P}(\vec{r}, t)$

$$\vec{H}(\vec{r}, t) := \frac{1}{\mu_0} [\vec{B}(\vec{r}, t) - \vec{M}(\vec{r}, t)]$$

Nur in Materie sind  $\vec{P}(\vec{r}, t), \vec{M}(\vec{r}, t) \neq 0$ .

Benennung:	$\vec{E}$ - elektr. Feld	$\vec{D}$ - dielektr. Verschiebung
	$\vec{B}$ - magnet. Feld	$\vec{H}$ - magnet. Feldstärke
	$\vec{P}$ - Polarisation	$\vec{M}$ - Magnetisierung

Die Abhängigkeiten  $\vec{P}[\vec{E}]$  bzw.  $\vec{M}[\vec{B}]$  werden durch Materialgleichungen gegeben.

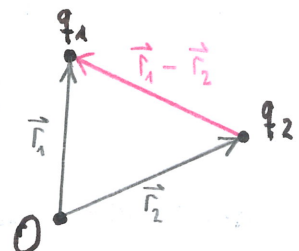
Das sind die Maxwell-Gleichungen in ihrer exaktesten Form.

Was ist  $\vec{E}$ ? - Der Feldbegriff

Rein experimentell gesichert ist die Coulomb-Kraft,

$$\vec{F}_{12} = \frac{1}{4\pi\epsilon_0} q_1 q_2 \frac{\vec{r}_1 - \vec{r}_2}{|\vec{r}_1 - \vec{r}_2|^3},$$

die paarweise zwischen Punktladungen wirkt.



Superposition mehrerer Ladungen  $q_i$ , die auf Ladung  $q$  im Ursprung wirken:

$$\vec{F} = \frac{q}{4\pi\epsilon_0} \left( \frac{q_1 \vec{r}_1}{r_1^3} + \frac{q_2 \vec{r}_2}{r_2^3} + \dots \right) = q \vec{E}.$$

→ Ladungsverteilung ( $q_1$  bei  $\vec{r}_1$ ,  $q_2$  bei  $\vec{r}_2$ , ...) als Eigenschaft des Raumes, losgelöst von  $q$

→ an jedem Ort und zu jedem Zeitpunkt möglich:

$$\vec{F}(\vec{r}, t) = q \vec{E}(\vec{r}, t)$$

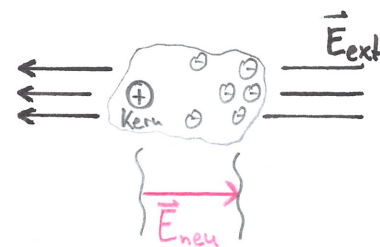
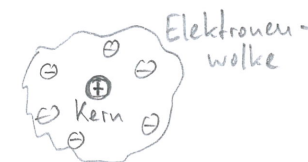
Man könnte auch sagen: Das  $\vec{E}$ -Feld ist die Kraft, die auf eine „Testladung“ mit  $q=1$  wirkt.

Offenbar:  $\vec{E} \in \mathbb{R}^3$ .

Später aber auch  $\vec{E} \in \mathbb{C}^3$ , dann ist nur  $\text{Re}(\vec{E})$  physikalisch sinnvoll!

## Was ist $\vec{P}$ ? - Elektrostatik im Medium

Ein Atom ist im elektrischen Feld einer Kraft ausgesetzt. Die Auslenkung der Elektronen aus ihrer Ruhelage um den Atomkern führt zur Ausbildung elektrischer Pole.



- neues elektrisches Feld
- wieder Rückwirkung auf externes Feld
- u.s.w.

Das Resultat (sozusagen die „Ruhelage“) ist ein elektrisches Gesamtfeld, dessen Quellen sowohl externe als auch Polarisationsladungen sind:

$$\text{div } \vec{E} \sim \rho_{\text{ext}} + \rho_{\text{pol}} = \rho_{\text{ges}}. \quad (*)$$

Aber wir wissen nichts über  $\rho_{\text{pol}}$ !

Wir wollen ein Feld beschreiben, dessen Quellen wir kennen!  
Nennen wir es  $\vec{D}$ :

$$\operatorname{div} \vec{D} \sim \beta_{\text{ext}} = \beta_{\text{ges}} - \beta_{\text{pol.}}$$

Benennung der Proportionalitätskonstanten im (\*) zu  $\frac{1}{\epsilon_0}$ .

$$\Rightarrow \operatorname{div} \vec{D} = \beta_{\text{ext}} = \beta_{\text{ges}} - \beta_{\text{pol}} = \underbrace{\epsilon_0 \operatorname{div} \vec{E} - \beta_{\text{pol}}}_{:= \operatorname{div} \vec{P}}$$

$$\Rightarrow \operatorname{div} (\epsilon_0 \vec{E} + \vec{P}) = \beta_{\text{ext}}$$

Wissen von  $\vec{P}$  nur:  $\vec{P} = \vec{P}[\vec{E}]$

Fromme Hoffnung: „ $\vec{P} = x^{(1)} \vec{E} + x^{(2)} \vec{E}^2 + x^{(3)} \vec{E}^3 + \dots$ “

+ Konvergenz, „ $x^{(i)} \xrightarrow{i \rightarrow \infty} 0$ “

$$\rightarrow \text{einfachster Fall: } \vec{P} = \epsilon_0 x \vec{E}, \quad \vec{D} = \epsilon_0 \vec{E} + \vec{P} = \underbrace{(1+x)}_{= \epsilon} \epsilon_0 \vec{E}$$

Bem:

- Der Fall quadratischer und höherer Abhängigkeiten führt auf die nichtlineare Optik.
- Niemand garantiert, dass  $\vec{E}$  und  $\vec{P}$  die gleiche Richtung haben  $\rightarrow x$  (also auch  $\epsilon$ ) ist im Allgemeinen ein Tensor!

In dieser Vorlesung schrittweiser Aufbau der  
Betrachtungen:

Elektrostatik → Magnetostatik →  
langsam veränderliche Felder

Relativistik ← allgem. Felder ←

- Literatur:
- D.J. Griffiths : „Elektrodynamik. Eine Einführung“, Pearson 2011
  - R.P. Feynman: „Feynman - Vorlesungen über Physik“, Band 2
  - Skript Mathem. Methoden der Physik II + III,  
Prof. Lotze
  - Mathematik: I.N. Bronstein, K.A. Semendjajew:  
„Taschenbuch der Mathematik“, Teubner 2003

Internet: [problemsinelectrodynamics.com](http://problemsinelectrodynamics.com)

## Das (skalare) Potential

Die Coulomb-Kraft ist konservativ und es gilt Energieerhaltung.

⇒ Einführung eines Potentials  $\phi(\vec{r})$  möglich

Erinnerung Mechanik:

Kraftgesetz  $\vec{F}_{12} = -Gm_1m_2 \frac{\vec{r}_1 - \vec{r}_2}{|\vec{r}_1 - \vec{r}_2|^3}$ , Potential  $\vec{F}(\vec{r}) = -\nabla U(\vec{r})$   
(Kraft „auf 1 von 2“)

Hier beinhaltet das Potential  $U(\vec{r})$  die Informationen zur gesamten Anordnung aller beteiligten Massen.

Jetzt Elektrostatik:

Kraftgesetz  $\vec{F}_{12} = \frac{1}{4\pi\epsilon_0} q_1 q_2 \frac{\vec{r}_1 - \vec{r}_2}{|\vec{r}_1 - \vec{r}_2|^3}$ , Potential  $\vec{F}(\vec{r}) = -q \nabla \phi(\vec{r})$

Hier beinhaltet das Potential  $\phi(\vec{r})$  die Informationen zur Anordnung aller Ladungen außer  $q$ . Es ist dem Feld zugeordnet, nicht der Kraft,  $\vec{E}(\vec{r}) = -\nabla \phi(\vec{r})$ !

Bem: Warum ist es möglich, die 3 Komponenten  $E_i(\vec{r})$  zu einer skalaren Größe zusammenzufassen, ohne dabei Informationen zu verlieren?

Antwort: Die Komponenten sind nicht unabhängig sondern durch die Maxwell-Gleichungen  $\epsilon_0 \nabla \cdot \vec{E}(\vec{r}) = \rho(\vec{r})$  und  $\nabla \times \vec{E}(\vec{r}) = 0$  verbunden!

zur elektrischen Spannung:

Arbeit zum Verschieben einer Ladung  $q$  von  $\vec{r}_1$  nach  $\vec{r}_2$  unter Einfluss der Coulomb-Kraft:

$$W = - \int_{\vec{r}_1}^{\vec{r}_2} \vec{F}(\vec{r}) d\vec{r} = -q \int_{\vec{r}_1}^{\vec{r}_2} \vec{E}(\vec{r}) d\vec{r} = q \underbrace{\int_{\vec{r}_1}^{\vec{r}_2} \text{grad } \phi(\vec{r}) d\vec{r}}_{d\phi}$$

$$= q [\phi(\vec{r}_2) - \phi(\vec{r}_1)] =: q U(\vec{r}_1, \vec{r}_2)$$

→ Spannung als Potentialdifferenz (immer nur zwischen zwei festen Punkten definiert)

einfaches Beispiel zur Potentialberechnung (via  $\vec{E}$ -Feld):

Anordnung: gleichmäßig geladene Kugelfläche mit Radius  $R$  und Flächenladungsdichte  $\eta = \text{const.}$

$$\text{Maxwell: } \epsilon_0 \operatorname{div} \vec{E}(\vec{r}) = \rho(\vec{r})$$

$$\text{Ladungsverteilung: } \rho(\vec{r}) = \eta \delta(r-R)$$

Kugelkoordinaten  $(r, \vartheta, \varphi)$  mit Ursprung im Zentrum der Kugelschale

Ansatz: Integration über eine Kugel mit (beliebigem) Radius  $r$

$$\epsilon_0 \int_{B_r} \operatorname{div} \vec{E}(\vec{r}') dV' = \int_{B_r} \rho(\vec{r}') dV'$$

II (Gauß)

$$\epsilon_0 \int_{\partial B_r} \vec{E}(\vec{r}') d\vec{l}' \xrightarrow{\text{Skalarprodukt der parallelen Vektoren}}$$

$$\Rightarrow \int_0^{2\pi} \int_0^\pi \vec{E}(\vec{r}) r^2 \sin\vartheta d\vartheta d\varphi \vec{e}_r = \begin{cases} \frac{1}{\epsilon_0} \int_{B_r} \eta \delta(r-R) dV' = q, & r \geq R \\ 0 & , r < R \end{cases}$$

Zur Berechnung der linken Seite beachte Kugelsymmetrie des  $\vec{E}$ -Feldes:

$\vec{E}(\vec{r}) \equiv \vec{E}(r) \neq \vec{E}(r, \varphi, \psi)$ ; auf einer Kugelschale mit konstantem Radius ist das Feld konstant.

$$\int_0^{2\pi} \int_0^{\pi} \vec{E}(r) r^2 \sin\varphi d\varphi d\psi \vec{e}_r = r^2 \vec{E}(r) \vec{e}_r \underbrace{\int_0^{2\pi} \int_0^{\pi} \sin\varphi d\varphi d\psi}_{4\pi}$$

$$\Rightarrow \text{innen: } \vec{E}(r) \equiv 0, \quad r < R$$

$$\text{außen: } \vec{E}(r) = \frac{1}{4\pi\epsilon_0} \frac{q}{r^2} \vec{e}_r, \quad r \geq R$$

Nun zum Potential,  $\vec{E}(r) = -\text{grad } \phi(\vec{r})$ :

Wieder gebietet Kugelsymmetrie  $\phi(\vec{r}) = \phi(r) \neq \phi(r, \varphi, \psi)$ !

$$\rightarrow \text{grad } \phi(r) = \partial_r \phi(r) \vec{e}_r + \underbrace{\left( \frac{1}{r} \partial_\varphi \phi(r) \vec{e}_\varphi + \frac{1}{r \sin\varphi} \partial_\psi \phi(r) \vec{e}_\psi \right)}_{=0}$$

$$\rightarrow \phi(r) = \int \partial_r \phi(r') dr' = \int \text{grad } \phi(r') dr' \cdot \vec{e}_r = - \int \vec{E}(r') dr' \cdot \vec{e}_r$$

wählen Bezugspunkt im  $\infty$  mit  $\phi(r=\infty) = 0$

$$= - \int_{\infty}^r \vec{E}(r') dr' \cdot \vec{e}_r$$

$$= \left\{ -\frac{q}{4\pi\epsilon_0} \int_{\infty}^r \frac{1}{r'^2} dr' = \frac{q}{4\pi\epsilon_0} \frac{1}{r}, \quad r \geq R \right.$$

$$\left. - \int_{\infty}^R \vec{E}(r') dr' \cdot \vec{e}_r - \int_R^r \vec{E}(r') dr' \cdot \vec{e}_r = \frac{1}{4\pi\epsilon_0} \frac{q}{R}, \quad r < R \right\}$$

## Ergebnisse:

- Von außen sind Feld und Potential nicht von denen einer Punktladung unterscheidbar, die im Zentrum sitzt.
- Die Ausnutzung der Kugelsymmetrie macht die Potentialberechnung unverschämt einfach.

Bem: Ein „direkter“ Weg führt zur Laplace-Gleichung (bzw. Poisson-Gleichung).

$$\rho(\vec{r}) = \epsilon_0 \operatorname{div} \vec{E}(\vec{r}) = \cancel{\epsilon_0 \operatorname{grad}} - \underbrace{\epsilon_0 \operatorname{div} \operatorname{grad} \phi(\vec{r})}_{\Delta \phi(\vec{r})}$$

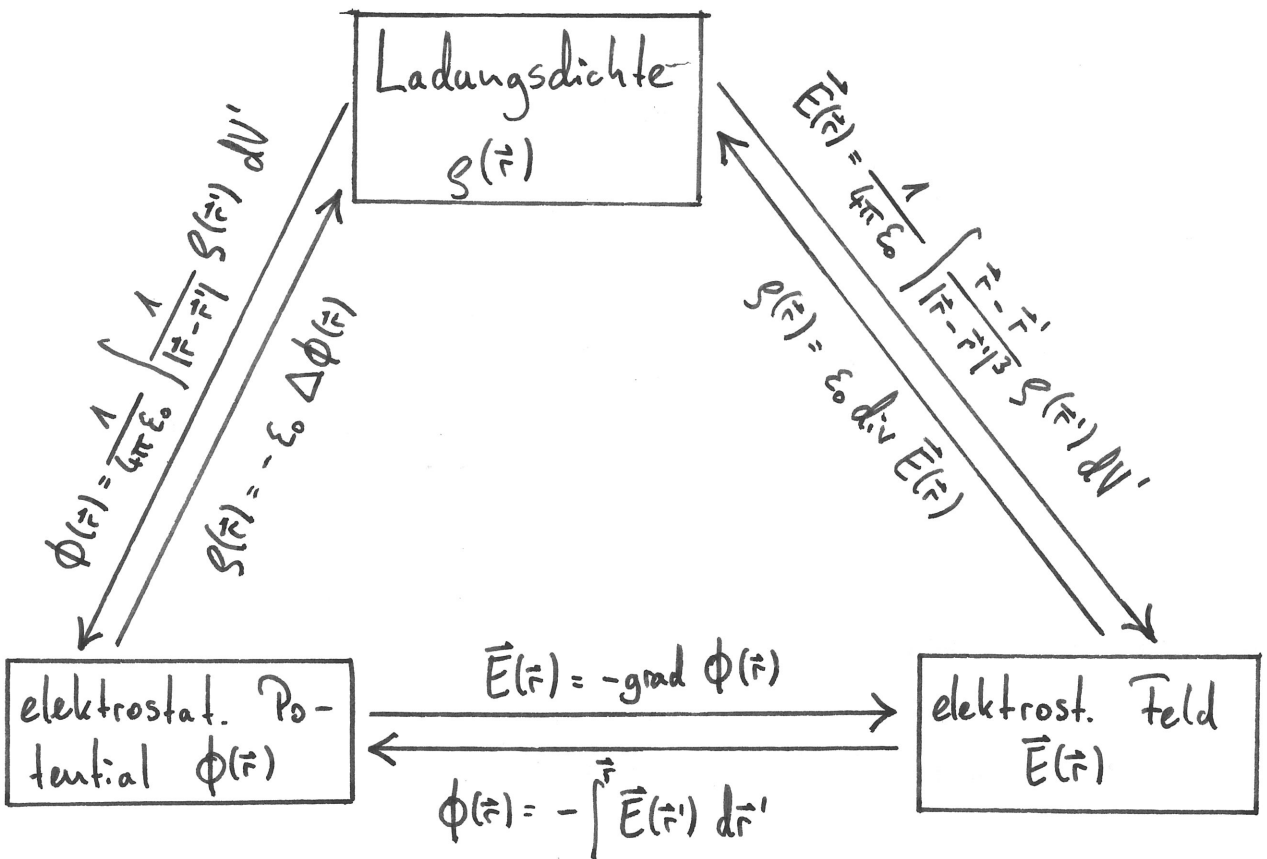
$$\Delta \phi(\vec{r}) = - \frac{\rho(\vec{r})}{\epsilon_0} \quad \begin{array}{l} \text{Poisson-Gleichung} \\ (\text{auf der Kugelschale } \rho(\vec{r} = R\hat{r}) \neq 0) \end{array}$$

Im Ladungsfreien Raum ist  $\rho(\vec{r} \neq R\hat{r}) = 0$  und damit

$$\Delta \phi(\vec{r}) = 0 \quad \begin{array}{l} \text{Laplace-Gleichung} \\ (\text{innerhalb und außerhalb}) \end{array}$$

Es muss hierbei die Laplace-Gleichung mit den richtigen Randbedingungen gelöst werden.

# Überblick Elektrostatisik



Wie erhält man die Umkehrung von Divergenz und Laplace-Operator allgemein?

Integration über beliebiges Volumen  $V$  und Volumen der Ladungsverteilung  $V_\rho$ :

$$\begin{aligned} \epsilon_0 \operatorname{div} \vec{E}(\vec{r}) &= \rho(\vec{r}) & | \int_V dV \\ \epsilon_0 \int_V \operatorname{div} \vec{E}(\vec{r}) dV &= \int_V \rho(\vec{r}) dV = \iint_V \rho(\vec{r}') \delta(\vec{r}-\vec{r}') dV' dV & (\text{Gauß}) \\ \int_V \vec{E}(\vec{r}) d\vec{r} &= \frac{1}{\epsilon_0} \iint_V \rho(\vec{r}') \delta(\vec{r}-\vec{r}') dV' dV \\ &= -\frac{1}{4\pi\epsilon_0} \iint_{V_\rho} \rho(\vec{r}') \operatorname{div}, \operatorname{grad}, \frac{1}{|\vec{r}-\vec{r}'|} dV' dV & \delta(\vec{r}-\vec{r}') = -\frac{1}{4\pi} \Delta_r \frac{1}{|\vec{r}-\vec{r}'|} \text{ (siehe später!)} \end{aligned}$$

(Gauß)

$$= -\frac{1}{4\pi\epsilon_0} \iint_{V_g} g(\vec{r}') \operatorname{grad}_r \frac{1}{|\vec{r} - \vec{r}'|} dV' d\vec{r}' \quad (*)$$

$$= \frac{1}{4\pi\epsilon_0} \iint_{V_g} \frac{\vec{r} - \vec{r}'}{|\vec{r} - \vec{r}'|^3} g(\vec{r}') dV' d\vec{r}'$$

(V beliebig)

$$\Rightarrow \vec{E}(\vec{r}) = \frac{1}{4\pi\epsilon_0} \iint_{V_g} \frac{\vec{r} - \vec{r}'}{|\vec{r} - \vec{r}'|^3} g(\vec{r}') dV'$$


---

Für (\*) kann man schreiben

$$\vec{E}(\vec{r}) = -\frac{1}{4\pi\epsilon_0} \iint_{V_g} g(\vec{r}') \operatorname{grad}_r \frac{1}{|\vec{r} - \vec{r}'|} dV'$$

$$= -\operatorname{grad}_r \left[ \frac{1}{4\pi\epsilon_0} \iint_{V_g} \frac{1}{|\vec{r} - \vec{r}'|} g(\vec{r}') dV' \right] = -\operatorname{grad} \phi(\vec{r})$$

$$\Rightarrow \phi(\vec{r}) = \frac{1}{4\pi\epsilon_0} \iint_{V_g} \frac{1}{|\vec{r} - \vec{r}'|} g(\vec{r}') dV'$$


---

NR:

$$\operatorname{grad}_r \frac{1}{|\vec{r} - \vec{r}'|} = \begin{pmatrix} \partial_x \\ \partial_y \\ \partial_z \end{pmatrix} \frac{1}{\sqrt{(x-x')^2 + (y-y')^2 + (z-z')^2}}$$

$$= -\frac{1}{2} \frac{1}{\sqrt{...}} \begin{pmatrix} 2(x-x') \\ 2(y-y') \\ 2(z-z') \end{pmatrix} = -\frac{\vec{r} - \vec{r}'}{|\vec{r} - \vec{r}'|^3}$$


---

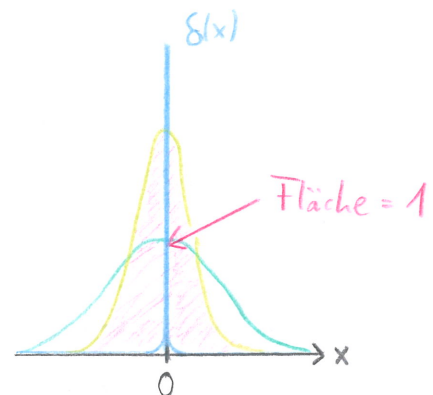
# Zur Dirac'schen $\delta$ -Distribution

exakte Behandlung: Distributionentheorie

Als strenge Definition genügt  $\int_{\mathbb{R}^n} \delta(x) f(x) dx = f(0)$   
bzw.  $\int_{\mathbb{R}^n} \delta(x-x_0) f(x) dx = f(x_0).$

formal:  $\delta(x) = \begin{cases} \infty, & x=0 \\ 0, & x \neq 0 \end{cases}$

Normierung:  $\int_{-\infty}^{\infty} \delta(x) dx = 1$



Bsp: Massenpunkt mit Masse  $m=1$  am Ort  $\vec{r}_0$

Massendichte:  $\rho(\vec{r}) = m \delta(\vec{r} - \vec{r}_0) = \begin{cases} \infty, & \vec{r} = \vec{r}_0 \\ 0, & \text{sonst} \end{cases}$

Gesamtmasse:  $m_{\text{gs}} = \int_{\mathbb{R}^3} \rho(\vec{r}) dV = \int_{\mathbb{R}^3} m \delta(\vec{r} - \vec{r}_0) d^3x = m$

Eigenschaften:

- $\delta(kx) = \frac{1}{|k|} \delta(x), \quad \text{insbesondere} \quad [\delta(x)] = \frac{1}{[x]}$

- Ableitung:  $\frac{d^n}{dx^n} \delta(x) = (-1)^n \delta(x) \frac{d^n}{dx^n}$

Beweis:  
( $n=1$ )

$$\int_{-\infty}^{\infty} \frac{d}{dx} [\delta(x)] f(x) dx = \left[ \delta(x) f(x) \right]_{-\infty}^{\infty} - \int_{-\infty}^{\infty} \delta(x) \frac{d}{dx} f(x) dx$$

partielle Integration

- $\delta(x) = \delta(-x)$
- $\delta(\vec{r} - \vec{r}_0) = \delta(x-x_0) \delta(y-y_0) \delta(z-z_0)$
- $\delta$ -Distribution einer Funktion:

$$\delta[f(x)] = \sum_i \frac{1}{|\partial_x f(x)|_{x_i}} \delta(x-x_i) \quad \text{für } x_i \text{ Nullstellen von } g(x), \quad g(x_i) = 0 \quad \forall i$$

### Darstellungen der $\delta$ -Distribution:

$$\bullet \delta(\vec{r} - \vec{r}_0) = \left(\frac{1}{2\pi}\right)^3 \int_{-\infty}^{\infty} e^{i\vec{k}(\vec{r} - \vec{r}_0)} d^3k \quad \text{Fourier-Integral}$$

→ Modellierung eines Punktes erfordert Hinzunahme  
aller Ortsfrequenzen  $\vec{k}$  im Fourier-Raum

$$\bullet \delta(\vec{r} - \vec{r}_0) = -\frac{1}{4\pi} \Delta \frac{1}{|\vec{r} - \vec{r}_0|}$$

### Übergang zu Kugelkoordinaten:

$$1 \stackrel{!}{=} \int_{\mathbb{R}^3} \delta(\vec{r}) d^3r = \iiint_0^{\infty} \delta(\vec{r}) \sin\theta r^2 dr d\theta d\phi = 4\pi \int_0^{\infty} \delta(r) r^2 dr$$

$$= 4\pi \int_{-\infty}^{\infty} \delta(r) r^2 dr \quad \left. \right\} \delta(r) = \frac{\delta(r)}{4\pi r^2}$$

$$1 \stackrel{!}{=} \int_{-\infty}^{\infty} \delta(r) dr$$

Im Zweifelsfall sollte man stets die integrale Definition plus Normierung heranziehen!

## Zur Green'schen Funktion

für eine lineare Differentialgleichung der Form

$$\hat{L} x(\vec{r}) = f(\vec{r})$$

mit einem Differentialoperator  $\hat{L}$  (z.B.  $\hat{L} = \text{grad}$ ) und einer inhomogenität  $f(\vec{r})$  lässt sich allgemein die Green'sche Funktion einführen mittels der Eigenschaft

$$\hat{L} G(\vec{r}, \vec{r}') = \delta(\vec{r} - \vec{r}').$$

→ neue Darstellung der Differentialgleichung als Integralgleichung:

$$x(\vec{r}) = \int_V G(\vec{r}, \vec{r}') f(\vec{r}') dV' \quad (*)$$

denn:  $\hat{L} x(\vec{r}) = \int_V \underbrace{\hat{L} G(\vec{r}, \vec{r}')}_G f(\vec{r}') dV' = f(\vec{r})$ , beide Darstellungen sind äquivalent

Es ist  $f(\vec{r})$  beliebig, setze z.B.  $f(\vec{r}) = \delta(\vec{r} - \vec{r}_0)$ . Dann:

$$x(\vec{r}) = \int_V G(\vec{r}, \vec{r}') \delta(\vec{r}' - \vec{r}_0) dV' = G(\vec{r}, \vec{r}_0).$$

Das heißt:  $G(\vec{r}, \vec{r}_0)$  ist eine Lösung des Problems für eine  $\delta$ -förmige Anregung des Systems (am Punkt  $\vec{r}_0$ ).

→ Daher die Namen „Grundlösung“ oder „Response-Funktion“ („Antwort“ des Systems auf punktförmige Störung).

Damit besagt die Lösungsformel (\*): Eine allgemeine Lösung ergibt sich als Superposition scharf konzentrierter äußerer Einflüsse.

Reaktion des Systems am Ort  $\vec{r}$   $\uparrow \uparrow$   $\delta$ -förmige Anregung am Ort  $\vec{r}_0$

- Bem:
- Für eine eindeutige Lösung braucht es noch Randbedingungen, z.B.  $G(0, \vec{r}_0) = 0$ .
  - Veranschaulichung: fest eingespanntes Gummiband
  - Das funktioniert nicht nur auf dem  $\mathbb{R}^3$ .

## Anwendung auf Elektrostatik:

Poisson-Gleichung:

$$-\epsilon_0 \Delta \phi(\vec{r}) = \rho(\vec{r})$$

(auf einem Gebiet  $V \subseteq \mathbb{R}^3$ )

+ Randbedingung(en), z.B.  $\phi(\vec{r}) \Big|_{\vec{r} \in \partial V} = 0$  für (geerdete) Leiter



Wir wählen natürliche RB (d.h.  $\phi(\vec{r})$  verschwindet im Unendlichen, keine Leiter anwesend) und suchen zugehörige Green'sche Funktion  $G_0(\vec{r}, \vec{r}')$  mit

$$-\epsilon_0 \Delta G_0(\vec{r}, \vec{r}') = \delta(\vec{r} - \vec{r}'), \quad \text{sodass} \quad \phi(\vec{r}) = \int_V G_0(\vec{r}, \vec{r}') \rho(\vec{r}') dV'$$

eine Lösung ist.

Wegen  $\Delta \frac{1}{|\vec{r} - \vec{r}'|} = -4\pi \delta(\vec{r} - \vec{r}')$  löst  $G_0(\vec{r}, \vec{r}') = \frac{1}{4\pi \epsilon_0} \frac{1}{|\vec{r} - \vec{r}'|}$  das Problem. (Beachte RB:  $G_0 \xrightarrow{|\vec{r}'| \rightarrow \infty} 0$ )

$$\rightarrow \phi(\vec{r}) = \frac{1}{4\pi \epsilon_0} \int_V \frac{\rho(\vec{r}')}{|\vec{r} - \vec{r}'|} dV'$$

Bei Anwesenheit von Leitern wählt man den Ansatz

$$G(\vec{r}, \vec{r}') = G_o(\vec{r}, \vec{r}') + \tilde{F}(\vec{r}, \vec{r}'), \quad \Delta \tilde{F}(\vec{r}, \vec{r}') = 0.$$

↑                           ↑  
natürliche Randbedg. im  
Randbedg. Endlichen (Leiter)

Bem:  $G_o(\vec{r}, \vec{r}')$  ist das Potential einer Punktladung der Ladung  $q=1$  am Ort  $\vec{r}'$ .



# Das Gauß'sche cgs-System (Zentimeter, Gramm, Sekunde)

Ausgangspunkt: 3 grundlegende experimentelle Befunde

Coulomb:  $F = k_1 \frac{q_1 q_2}{r^2}$  (1)

Ampère:  $F = k_2 \frac{2I_1 I_2 L}{d}$  (2)

Faraday:  $\text{rot } \vec{E} = -k_3 \partial_t \vec{B}$  (3)

Welche Einheiten ordnet man (per Definition) Ladung, Strom und Feld zu?

Die Verknüpfung "Strom  $\sim$  Ladung / Zeit" erlaubt den (experimentellen) Vergleich von (1) & (2). Befund:  $\frac{k_1}{k_2} = c^2$ .

1. Möglichkeit (SI):

Wirkt für  $d=1\text{m}$  und  $L=1\text{m}$  eine Kraft  $F$  von  $2 \cdot 10^{-7}\text{N}$  (mit  $N = \frac{\text{kg} \cdot \text{m}}{\text{s}^2}$ ), nennen wir das, was durch die Drähte fließt, jeweils 1 Ampère.

Damit:  $2 \cdot 10^{-7}\text{N} = 2 k_2 A^2$

$$\Rightarrow k_2 = 1 \cdot 10^{-7} \frac{N}{A^2} =: \frac{\mu_0}{4\pi}$$

$$\Rightarrow \underline{k_1} = k_2 c^2 = 8,988 \cdot 10^9 \frac{Nm^2}{A^2 s^2} = \frac{1}{4\pi} \cdot \frac{1}{8,854 \cdot 10^{-12}} \frac{Nm^2}{A^2 s^2} =: \underline{\frac{1}{4\pi \epsilon_0}}$$

Außerdem:  $k_3 = 1$

## 2. Möglichkeit (cgs):

Wirkt für  $r=1\text{cm}$  eine Coulomb-Kraft  $\vec{F}$  von 1 dyn (mit  $\text{dyn} = \frac{\text{g} \cdot \text{cm}}{\text{s}^2} = 10^{-5} \text{N}$ ), dann nennen wir das, was  $q_1$  und  $q_2$  sind, jeweils 1 esu.

$$\Rightarrow k_1 = 1 \quad \Rightarrow k_2 = \frac{1}{c^2}, \quad k_3 = \frac{1}{c}$$

Daraus folgen Einheiten und Umrechnungsfaktoren aller anderen physikalischen Größen.

### Bsp: Ladung

Betrachte dieselbe physik. Situation in beiden Systemen.



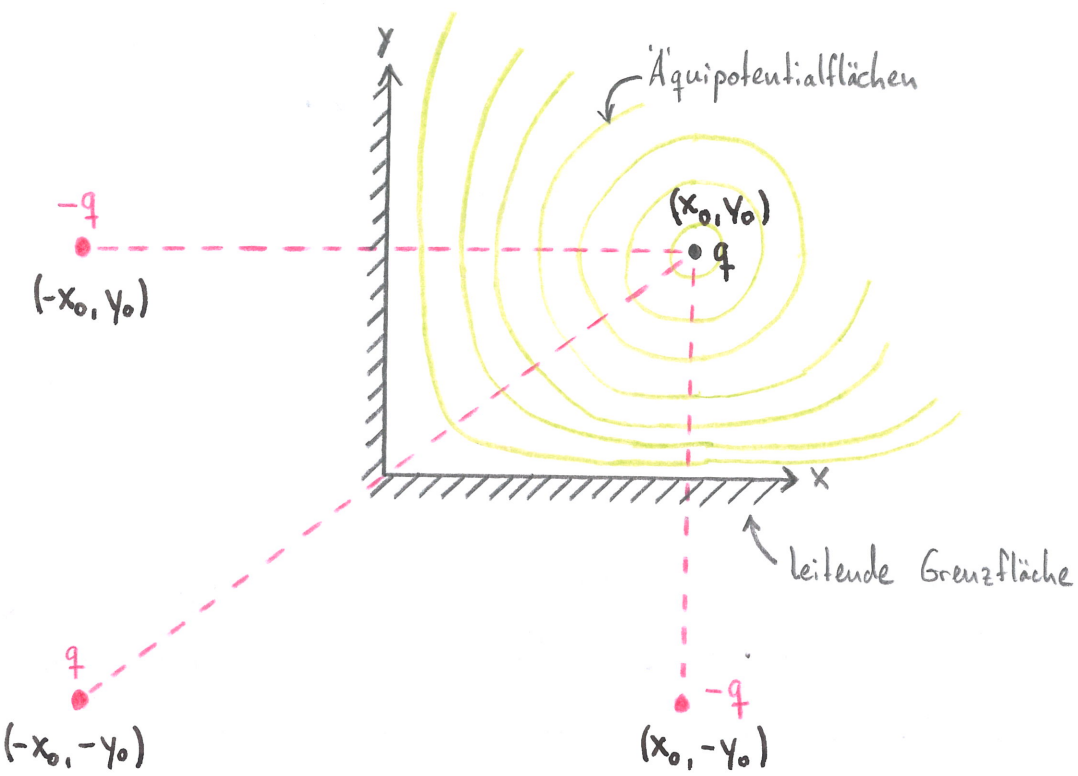
$$\begin{aligned} \cdot \text{SI: } \vec{F} &= k_1 \frac{q^2}{r^2}, \quad k_1 = c^2 k_2 = c^2 \cdot 10^{-7} \frac{\text{N}}{\text{A}^2} \\ &\rightarrow q^2 = 1\text{N} \cdot (1\text{cm})^2 \frac{1}{c^2} \cdot 10^7 \frac{\text{A}^2}{\text{N}} = \underline{\underline{\frac{1}{|c|^2} \cdot 10^7 \text{C}^2}} \\ &\quad |c \equiv \text{As} \rangle \end{aligned}$$

$$\begin{aligned} \cdot \text{cgs: } \vec{F} &= \frac{q^2}{r^2}, \quad 1\text{N} = 10^5 \text{dyn} \\ &\rightarrow q^2 = 10^5 \text{dyn} \cdot (100\text{cm})^2 = 10^9 \text{dyn} \cdot \text{cm}^2 = \underline{\underline{10^9 \text{esu}^2}} \end{aligned}$$

$$\text{Vergleich: } C = 10 \cdot |c| \text{ esu} = 10^3 \text{ esu}, \quad \alpha = |c| \cdot 10^{-8} \approx 3$$

- Bem:
- Vorsicht! Oft sind Definitionen von Größen wie  $\vec{D}$ ,  $\vec{H}$ ,  $\chi$ , ... verschieden (da sie ja der Abkürzung dienen).
  - Übersicht zur Umrechnung in D.J. Griffiths: „Elektrodynamik. Eine Einführung“, Pearson 2011, Anhang C

# Beispiel zur Methode der Spiegelladungen

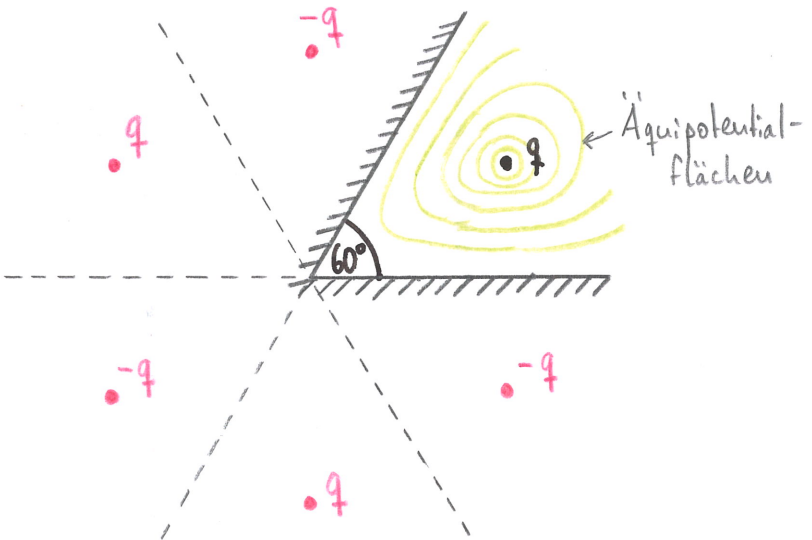


Die dritte Spiegelladung ist notwendig, um auf der Grenzfläche  $\phi = 0$  zu erreichen.

$$\begin{aligned}\phi(\vec{r}) &= \frac{1}{4\pi\epsilon_0} \sum_i \frac{q_i}{|\vec{r} - \vec{r}_i|} \\ &= \frac{q}{4\pi\epsilon_0} \left[ \frac{1}{\sqrt{(x-x_0)^2 + (y-y_0)^2}} - \frac{1}{\sqrt{(x+x_0)^2 + (y-y_0)^2}} \right. \\ &\quad \left. - \frac{1}{\sqrt{(x-x_0)^2 + (y+y_0)^2}} + \frac{1}{\sqrt{(x+x_0)^2 + (y+y_0)^2}} \right]\end{aligned}$$

Das gilt im 1. Quadranten.

Test:  $\phi(x=0, y) = \frac{q}{4\pi\epsilon_0} \left[ \frac{1}{\sqrt{x_0^2 + (y-y_0)^2}} - \frac{1}{\sqrt{x_0^2 + (y+y_0)^2}} \pm \dots \right] = 0$



Hier sind ganzzahlige Teiler von  $360^\circ$  nötig.

Um  $\phi = 0$  erreichen zu können, braucht man stets eine ungerade Anzahl an Spiegelladungen.

# Die Laplace-Gleichung

$\Delta\phi(\vec{r}) = 0$  in Gebieten ohne Ladung (nicht absolutes Vakuum!)

Dimension 1:

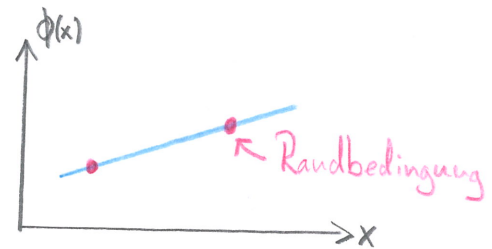
$$\partial_x^2 \phi(x) = \frac{d^2 \phi(x)}{dx^2} = 0 \Rightarrow \phi(x) = ax + b, a, b = \text{const}$$

Das ist simpel... dennoch zwei Feststellungen:

1. Für alle  $x$  und  $\Delta$  beliebig gibt  $\phi(x)$  den Mittelwert von  $\phi(x-\Delta)$  und  $\phi(x+\Delta)$  an, insbesondere für beliebig kleine  $\Delta$ :  $\phi(x) = \frac{\phi(x-dx) + \phi(x+dx)}{2}$ .

2. Es sind keine lokalen Maxima oder Minima erlaubt.

Lösung eindeutig bestimmt durch zwei feste Punkte oder einen Stützpunkt + Ableitung



Dimension 2:

$$\partial_x^2 \phi(x,y) + \partial_y^2 \phi(x,y) = 0$$

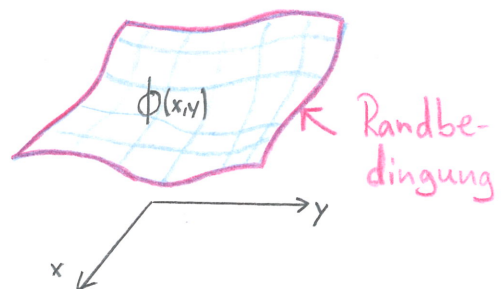
Ausdehnung: Gummiloch,  
fest eingespannt

Es gelten dieselben Eigenschaften:

1. Mittelwert:

$$\phi(x,y) = \frac{1}{2\pi R} \oint_R \phi(x',y') ds'$$

2. keine lokalen Maxima / Minima



Dimension 3:  $\partial_x^2 \phi(x, y, z) + \partial_y^2 \phi(x, y, z) + \partial_z^2 \phi(x, y, z) = 0$

1. Mittelwert-Eigenschaft:

$$\phi(\vec{r}) = \frac{1}{4\pi R^2} \int_{S_R} \phi(\vec{r}') d\Gamma'$$

2. keine lokalen Extrema

Die 2. Eigenschaft folgt jeweils aus der ersten.

Die Laplace-Gleichung beschreibt den „Endzustand“ eines Systems; alle Störungen sind abgeklungen.

→ Numerik: Relaxationsmethode zur Lösung (wiederholte Mittelwertbildung)

Aus der 2. Eigenschaft folgt das Earnshaw-Theorem:

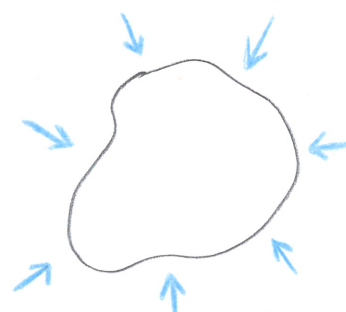
Ein geladenes Teilchen kann nicht allein durch elektrostatische Kräfte in einem stabilen Gleichgewicht gehalten werden.

Plausibilitätsbetrachtung: Suche nach einem Gebiet, in das alle Feldlinien hinein zeigen

Gauß'scher Satz: Ladung im Innern!

⇒ für beliebig kleines Gebiet:

Der einzige Ruhpunkt ist die Ladung selbst!



# Lösung der Laplace-Gleichung unter Ausnutzung von Symmetrien:

## 1. Zylinderkoordinaten

$$\Delta\phi(r, \varphi, z) = \frac{1}{r} \partial_r (r \partial_r \phi) + \frac{1}{r^2} \partial_\varphi^2 \phi + \partial_z^2 \phi = 0$$

Rotationssymmetrie um die  $z$ -Achse:  $\phi = \phi(r, z)$

+ Symmetrie gegen Verschiebung der  $z$ -Achse:  $\phi = \phi(r)$

$$\partial_r (r \partial_r \phi) = 0$$

$$\rightarrow \partial_r \phi = \frac{a}{r}, \quad a = \text{const}$$

$$\rightarrow \underline{\phi(r) - \phi(r_0) = a \ln\left(\frac{r}{r_0}\right)}$$

- Die Konstanten  $a$  und  $r_0$  (bzw.  $\phi(r_0)$ ) regeln die Rand- und Übergangsbedingungen.
- Wegen der unendlichen Ausdehnung in  $z$ -Richtung können keine natürlichen RB angenommen werden,  $\phi \xrightarrow{r \rightarrow \infty} \infty$ .

## 2. Kugelkoordinaten

$$\Delta\phi(r, \rho, \varphi) = \frac{1}{r^2} \partial_r (r^2 \partial_r \phi) + \frac{1}{r^2 \sin \rho} \partial_\rho (\sin \rho \partial_\rho \phi) + \frac{1}{r^2 \sin^2 \rho} \partial_\varphi^2 \phi$$

Rotationssymmetrie um alle Achsen:  $\phi = \phi(r)$

$$\partial_r (r^2 \partial_r \phi) = 0$$

$$\rightarrow \partial_r \phi = \frac{a}{r^2}, \quad a = \text{const}$$

$$\rightarrow \underline{\phi(r) - \phi(r_0) = -a \left(\frac{1}{r} - \frac{1}{r_0}\right)}$$

• Für nat. RB gilt  $r_0 = \infty$ ,  $\phi(r_0) = 0$ :  $\phi(r) = -\frac{a}{r}$ .

• Bsp. Punktladung:  $a = -\frac{Q}{4\pi \epsilon_0 r}$

## Eindeutigkeitssatz:

Hat man (unter Einbeziehung der RB) eine Lösung der Laplace-Gleichung gefunden, dann ist es die einzige.

## Separationsansatz in sphärischen Koordinaten

betrachten azimutale Symmetrie:  $\phi = \phi(r, \vartheta)$

$$\Delta\phi = \partial_r (r^2 \partial_r \phi) + \frac{1}{\sin \varphi} \partial_\varphi (\sin \varphi \partial_\varphi \phi) = 0$$

Separationsansatz:  $\phi(r, \vartheta) = R(r) \Theta(\vartheta)$

$$\rightarrow \Theta(\vartheta) \frac{d}{dr} \left( r^2 \frac{dR}{dr} \right) + \frac{R(r)}{\sin \vartheta} \frac{d}{d\vartheta} \left( \sin \vartheta \frac{d\Theta}{d\vartheta} \right) = 0$$

$$\underbrace{\frac{1}{R(r)} \frac{d}{dr} \left( r^2 \frac{dR}{dr} \right)}_{\text{nur } r\text{-abhängig}} = - \underbrace{\frac{1}{\Theta(\vartheta) \sin \vartheta} \frac{d}{d\vartheta} \left( \sin \vartheta \frac{d\Theta}{d\vartheta} \right)}_{\text{nur } \vartheta\text{-abhängig}}$$

$\Rightarrow$  Beide Seiten sind unabhängig voneinander konstant!

$$\text{LHS: } \frac{d}{dr} \left( r^2 \frac{dR}{dr} \right) = \text{const.} \cdot R(r) = l(l+1) R(r), \quad l \in \mathbb{N}_0$$

(nur spezielle Bezeichnung der Konstanten...)

$$\text{allgemeine Lösung: } R(r) = A r^l + \frac{B}{r^{l+1}}, \quad A, B \text{ const}$$

$$\text{RHS: } \frac{d}{d\vartheta} \left( \sin \vartheta \frac{d\Theta}{d\vartheta} \right) = -\Theta(\vartheta) \sin \vartheta \cdot \text{const} = -l(l+1) \Theta(\vartheta) \sin \vartheta$$

allgemeine Lösung: Legendre-Polynome  $P_l$

$$\Theta(\vartheta) = P_l(\cos \vartheta)$$

$\Rightarrow$  allgemeinste separierbare Lösung:

$$\underline{\phi_l(r, \vartheta) = [A r^l + B r^{-(l+1)}] P_l(\cos \vartheta)} \quad \text{für alle } l \in \mathbb{N}_0$$

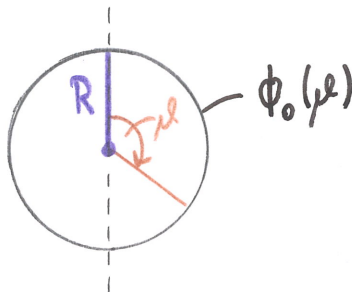
$\Rightarrow$  gesamte Lösung als Linearkombination:

$$\underline{\phi(r, \vartheta) = \sum_{l=0}^{\infty} [A_l r^l + B_l r^{-(l+1)}] P_l(\cos \vartheta)}$$

Was ist mit dem Eindeutigkeitssatz?

Die RB werden durch das Set  $A_l, B_l$  eingeregelt, l nummeriert nur die Basisfunktionen des Lösungsraumes.

Ein Bsp.: Potential im Inneren einer Kugel



$$1.) \Phi(r=0) \stackrel{!}{<} \infty \\ \Rightarrow \underline{B_l = 0} \quad \forall l$$

$$2.) \Phi(r=R) \stackrel{!}{=} \phi_0(\varphi)$$

$$\Phi(R, \varphi) = \sum_{l=0}^{\infty} A_l R^l P_l(\cos \varphi) \stackrel{!}{=} \phi_0(\varphi) \quad (*)$$

Jetzt einen Trick!

$$\int_0^a \sin\left(\frac{n\pi}{a}y\right) \sin\left(\frac{m\pi}{a}y\right) dy = \begin{cases} 0, & n \neq m \\ \frac{a}{2}, & n = m \end{cases}$$

ähnlich lässt sich zeigen:

$$\int_{-1}^1 P_l(x) P_{l'}(x) dx = \int_0^\pi P_l(\cos \varphi) P_{l'}(\cos \varphi) \sin \varphi d\varphi = \begin{cases} 0, & l' \neq l \\ \frac{2}{2l+1}, & l' = l \end{cases}$$

Multipliziere (\*) mit  $P_{l'}(\cos \varphi)$  und integriere:

$$A_{l'} R^{l'} \frac{2}{2l'+1} = \int_0^\pi \phi_0(\varphi) P_{l'}(\cos \varphi) \sin \varphi d\varphi$$

→ Bestimmungsgleichung für die Koeffizienten  $A_{l'}$

Damit ist das Problem gelöst!

# Etwas Magnetostatik

Maxwell-Gleichungen des Magnetfeldes:

$$\operatorname{div} \vec{B}(\vec{r}) = 0 \quad (1)$$

$$\operatorname{rot} \frac{1}{\mu_0} [\vec{B}(\vec{r}) - \vec{M}(\vec{r})] = \underbrace{\partial_t [\epsilon_0 \vec{E}(\vec{r}) + \vec{P}(\vec{r})]}_{=0 \text{ (im Vakuum)}} + \vec{j}_{\text{makro}}(\vec{r}) \quad (2)$$

=0  
(Statik)

Einführung des Vektorpotentials:

$$\vec{B}(\vec{r}) =: \operatorname{rot} \vec{A}(\vec{r})$$

→ in (1) verträglich, da  $\operatorname{div} \operatorname{rot} \cdot = 0$

→ in (2) folgt  $\operatorname{rot} \operatorname{rot} \vec{A}(\vec{r}) = \operatorname{grad} \operatorname{div} \vec{A}(\vec{r}) - \Delta \vec{A}(\vec{r}) = \mu_0 \vec{j}(\vec{r})$

Coulomb-Eichung:  $\operatorname{div} \vec{A}(\vec{r}) \stackrel{!}{=} 0$

$$\Rightarrow \Delta \vec{A}(\vec{r}) = -\mu_0 \vec{j}(\vec{r}) \quad (*)$$

Poisson-Gleichung für das Vektorpotential (3 Gleichungen!)

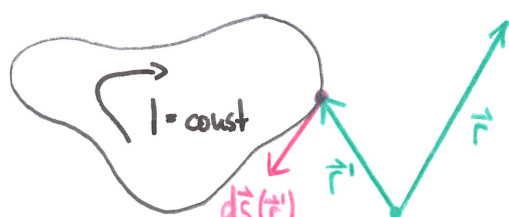
Das Biot-Savart'sche Gesetz als eine Lösung der Poisson-Gleichung:

Suchen das Magnetfeld eines dünnen strondurchflossenen Drahtes.

Für natürliche RB ganz analog E-Statik:

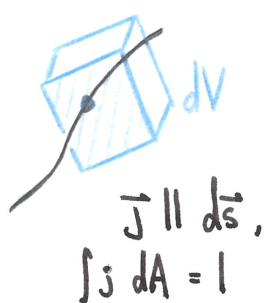
$$\vec{A}(\vec{r}) = \frac{\mu_0}{4\pi} \int dV' \frac{\vec{j}(\vec{r}')}{|\vec{r} - \vec{r}'|} .$$

$$\text{Mit } \vec{j}(\vec{r}') dV' = d\vec{s}(\vec{r}') = I d\vec{s}(\vec{r}') \quad \vec{j} dA ds$$



$$\vec{A}(\vec{r}) = \frac{\mu_0 I}{4\pi} \int_{\text{Draht}} \frac{d\vec{s}(\vec{r}')}{|\vec{r} - \vec{r}'|} .$$

$$\rightarrow \vec{B}(\vec{r}) = \operatorname{rot}_{\vec{r}} \vec{A}(\vec{r}) = \frac{\mu_0 I}{4\pi} \int_{\text{Draht}} \operatorname{rot}_{\vec{r}} \left( \frac{d\vec{s}(\vec{r}')}{|\vec{r} - \vec{r}'|} \right)$$



Es gilt allgemein  $\text{rot}(\mathbf{f} \vec{F}) = \mathbf{f} \text{rot} \vec{F} + (\text{grad } \mathbf{f}) \times \vec{F}$ .

$$\Rightarrow \vec{B}(\vec{r}) = \frac{\mu_0}{4\pi} \int_{\text{Draht}} \left[ \underbrace{\frac{1}{|\vec{r} - \vec{r}'|} \text{rot}_{\vec{r}}(d\vec{s}(\vec{r}'))}_{=0} + \left( \text{grad}_{\vec{r}} \frac{1}{|\vec{r} - \vec{r}'|} \right) \times d\vec{s}(\vec{r}') \right]$$

Nebenrechnung:

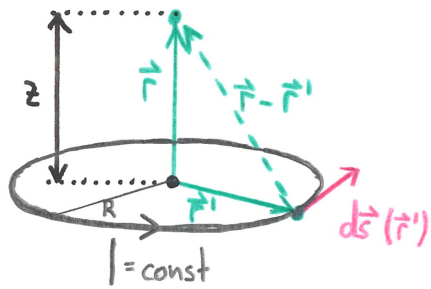
$$\begin{aligned} \text{grad}_{\vec{r}} \frac{1}{|\vec{r} - \vec{r}'|} &= \begin{pmatrix} \partial_x \\ \partial_y \\ \partial_z \end{pmatrix} \frac{1}{\sqrt{(x-x')^2 + (y-y')^2 + (z-z')^2}} = -\frac{1}{2} \frac{1}{\sqrt{\dots}} \cdot 2 \begin{pmatrix} x-x' \\ y-y' \\ z-z' \end{pmatrix} \\ &= -\frac{\vec{r} - \vec{r}'}{|\vec{r} - \vec{r}'|^3} \end{aligned}$$

$$\Rightarrow \vec{B}(\vec{r}) = \frac{\mu_0}{4\pi} \int_{\text{Draht}} d\vec{s}(\vec{r}') \times \frac{\vec{r} - \vec{r}'}{|\vec{r} - \vec{r}'|^3} = \underline{\underline{\frac{\mu_0}{4\pi} \int_{\text{Draht}} d\vec{s}(\vec{r}') \times \frac{\vec{e}_{(\vec{r}-\vec{r}')}}{|\vec{r} - \vec{r}'|^2}}}$$

Biot-Savart'sches Gesetz

# Anwendungsbeispiel für das Biot-Savart'sche Gesetz

Man bestimme das Magnetfeld in der Höhe  $z$  über dem Mittelpunkt einer kreisförmigen, stromdurchflossenen Leiterschleife.



$$\text{Zylinderkoordinaten: } \vec{r} = z \vec{e}_z, \quad \vec{r}' = R \vec{e}_r, \quad d\vec{s}(\vec{r}') = ds \vec{e}_\varphi(\vec{r}')$$

$$\begin{aligned} & \bullet d\vec{s}(\vec{r}') \times (\vec{r} - \vec{r}') = ds \vec{e}_\varphi(\vec{r}') \times (z \vec{e}_z - R \vec{e}_r) = ds (z \vec{e}_r + R \vec{e}_z) \\ & \bullet |\vec{r} - \vec{r}'| = \sqrt{R^2 + z^2} \\ \rightarrow \vec{B}(\vec{r}) &= \frac{\mu_0 I}{4\pi} \frac{1}{\sqrt{R^2 + z^2}^3} \int_{\text{Draht}} (z \vec{e}_r + R \vec{e}_z) ds \end{aligned}$$

Bei Integration eines ganzen Umlaufs hebt sich der erste Summand aufgrund der Symmetrie weg, denn  
 $\forall \varphi \in [0, 2\pi]$  ex. ein  $\vartheta = \varphi \pm \pi$ , sodass  $\vec{e}_r(\vartheta) = -\vec{e}_r(\varphi)$ .

$$\Rightarrow \underline{\underline{\vec{B}(z) = \frac{\mu_0 I}{2} \frac{R^2}{\sqrt{z^2 + R^2}^3} \vec{e}_z}} \quad (\text{auf der Symmetrieachse})$$



# Gedanken zum Vektorpotential und Freiheitsgraden

Bsp.:  $\vec{B} = B \vec{e}_z$

$$\vec{B} = \text{rot } \vec{A} = \begin{pmatrix} \partial_y A_z - \partial_z A_y \\ \partial_z A_x - \partial_x A_z \\ \partial_x A_y - \partial_y A_x \end{pmatrix} = \begin{pmatrix} 0 \\ 0 \\ B \end{pmatrix}$$

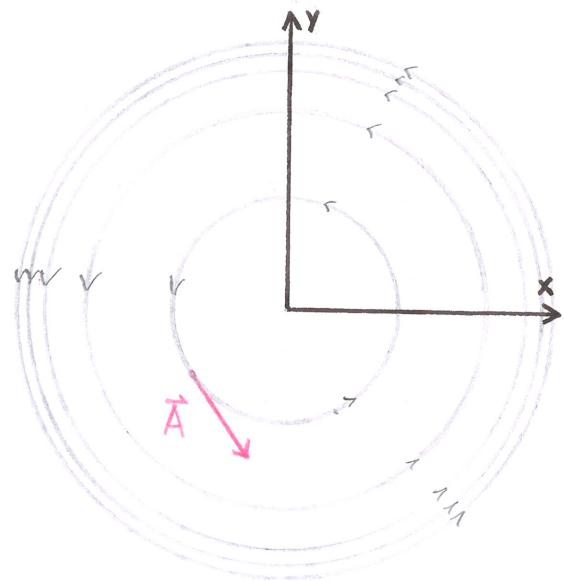
Wählen bspw.  $\vec{A} = \frac{B}{2} \begin{pmatrix} -y \\ x \\ 0 \end{pmatrix}$ , in Zylinderkoordinaten:

$$\vec{A} = \frac{B r}{2} \begin{pmatrix} 0 \\ 1 \\ 0 \end{pmatrix}_{r,y,z}$$

→ hängt empfindlich von der Wahl des Koordinatenursprungs ab

→ wächst linear mit  $r$  und divergiert (wg. des unphysikalischen Beispiels)

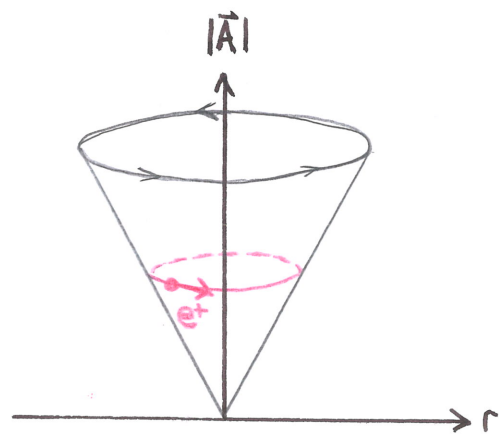
→ Mittelpunkt ( $r=0, |\vec{A}|=0$ ) beliebig durch Addition von Konstanten verschiebbar



Versuch einer Auseinandersetzung:

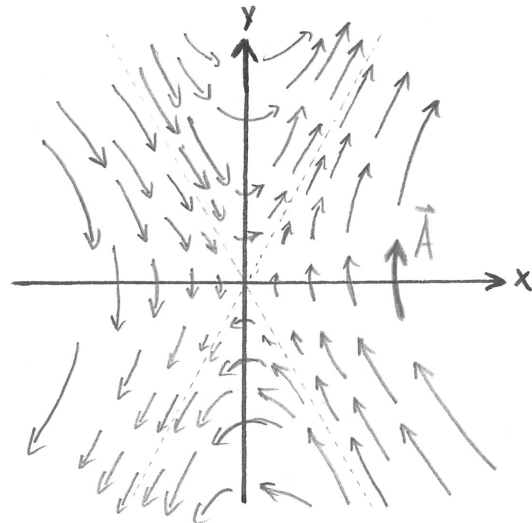
Bewegung eines geladenen Teilchens "im" Potential,  
 $\vec{F} = q \vec{v} \times \vec{B}$

Lage im Zylinder abhängig von  $q, m$  und  $v$ ; Drehrichtung abhängig von  $\text{sgn}(q)$ .



Dass die Auschaltung im Allgemeinen nicht möglich ist, zeigt die Wahl eines anderen möglichen Potentials:

$$\vec{A} = \vec{B} \begin{pmatrix} y \\ 2x \\ 0 \end{pmatrix}$$



Wichtig ist die Diskussion der Freiheitsgrade:

Wie viele Freiheitsgrade hat die Elektrodynamik (im Vakuum)?

6 Feldgrößen ( $E_x, E_y, E_z, B_x, B_y, B_z$ ) +

4 Maxwell-Gleichungen = 2 Freiheitsgrade

Tatsächlich: Licht hat 2 Freiheitsgrade (Polarisation)!

Durch die Potentiale  $\phi, (A_x, A_y, A_z)$  haben wir 4 Parameter

$\Rightarrow$  Redundanzen in den Potentialen

$\Rightarrow$  können die zwei überflüssigen Größen durch die Wahl einer (bzw. mehrerer) Eichbedingungen fixieren.

z.B.:  $\text{div } \vec{A} \stackrel{!}{=} 0$  &  $\phi \stackrel{!}{=} 0$

Bem: Wozu der ganze Aufwand, warum überhaupt  $\vec{A}$  und  $\phi$ ?

Antwort: Man braucht die Potentiale, um relativistisch kovariante Theorien formulieren zu können (SRT, ART, QFT, QED,...). Die Felder verhalten sich „schlecht“ unter Lorentz-Transformationen!

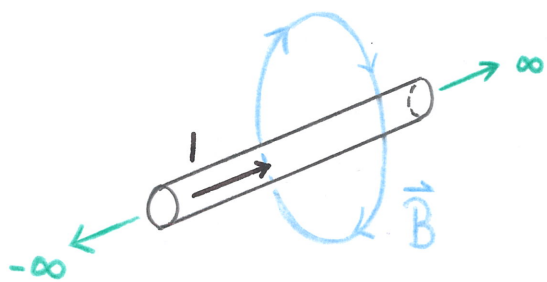
# Das Magnetfeld eines geraden Drahtes

Magnetostatik: nur stationäre Ströme

→ Ein gerader Draht muss unendlich lang sein, um einen stationären Strom führen zu können; sonst trate Ladungserzeugung und -vernichtung auf.

Dürfen wir das Biot-Savart'sche Gesetz verwenden?

Nein! Das gilt nur für natürliche RB ("inselförmige" Stromverteilung).



Wir setzen bei den Maxwell-Gln. an und nutzen die Zylindersymmetrie.

$$\text{rot } \vec{B}(\vec{r}) = \mu_0 \vec{j}(\vec{r}), \quad \vec{B}(\vec{r}) = \vec{B}(r)$$

Integration über eine Kreisscheibe  $C_r$  mit Radius  $r$ , die senkrecht zum Draht steht:

$$\int_C \text{rot } \vec{B}(r') d\vec{l}' = \int_{\partial C_r} \vec{B}(r) d\vec{s}' = \mu_0 \int_{C_r} \vec{j}(\vec{r}) d\vec{l} = \mu_0 I, \quad \vec{j} \parallel d\vec{l}$$

Satz von Stokes

$$\vec{B} \parallel d\vec{s} \rightarrow \int_{\partial C_r} \vec{B}(r') ds(r') = \int_0^{2\pi} \vec{B}(r) r d\varphi = 2\pi r \vec{B}(r)$$

$$\Rightarrow \underline{\underline{B(r) = \frac{\mu_0 I}{2\pi r}}}$$

Tatsächlich führt Anwendung des Biot-Savart'schen Gesetzes auf dieselbe Lösung...

## Berechnung mittels Vektorpotential:

$$\Delta \vec{A}(\vec{r}) = -\mu_0 \vec{j}(\vec{r}), \text{ Symmetrie: } \vec{A}(\vec{r}) = \vec{A}(r), \vec{j} = j \vec{e}_z$$

$$\rightarrow \frac{1}{r} \frac{d}{dr} \left( r \frac{dA_z}{dr} \right) = -\mu_0 j \quad \text{innerhalb d. Drahtes}$$

$$\rightarrow \frac{d}{dr} \left( r \frac{dA_z}{dr} \right) = 0 \quad \text{außerhalb d. Drahtes}$$

Da  $\vec{B}(r) = \text{rot } \vec{A}(r) = (\dots) \vec{e}_r + (\partial_z A_r - \partial_r A_z) \vec{e}_\varphi + (\dots) \vec{e}_z$  nur eine  $\varphi$ -Komponente haben wird, reicht es,  $A_z$  zu betrachten.

$$\text{Lösung außerhalb: } \underline{A_z(r) - A_z(r_0) = a \ln \frac{r}{r_0}}, \quad a = \text{const}$$

Zur Bestimmung der Konstante  $a$  wertet man die Anschlussbedingung für einen ausgedehnten Draht (Radius  $R$ )

aus:

$$\frac{d}{dr} \left( r \frac{dA_z}{dr} \right) = -r \mu_0 j \quad \Big| \int_0^R dr$$

$$R \frac{dA_z}{dr} \Big|_R = -\frac{1}{2} R^2 \mu_0 j.$$

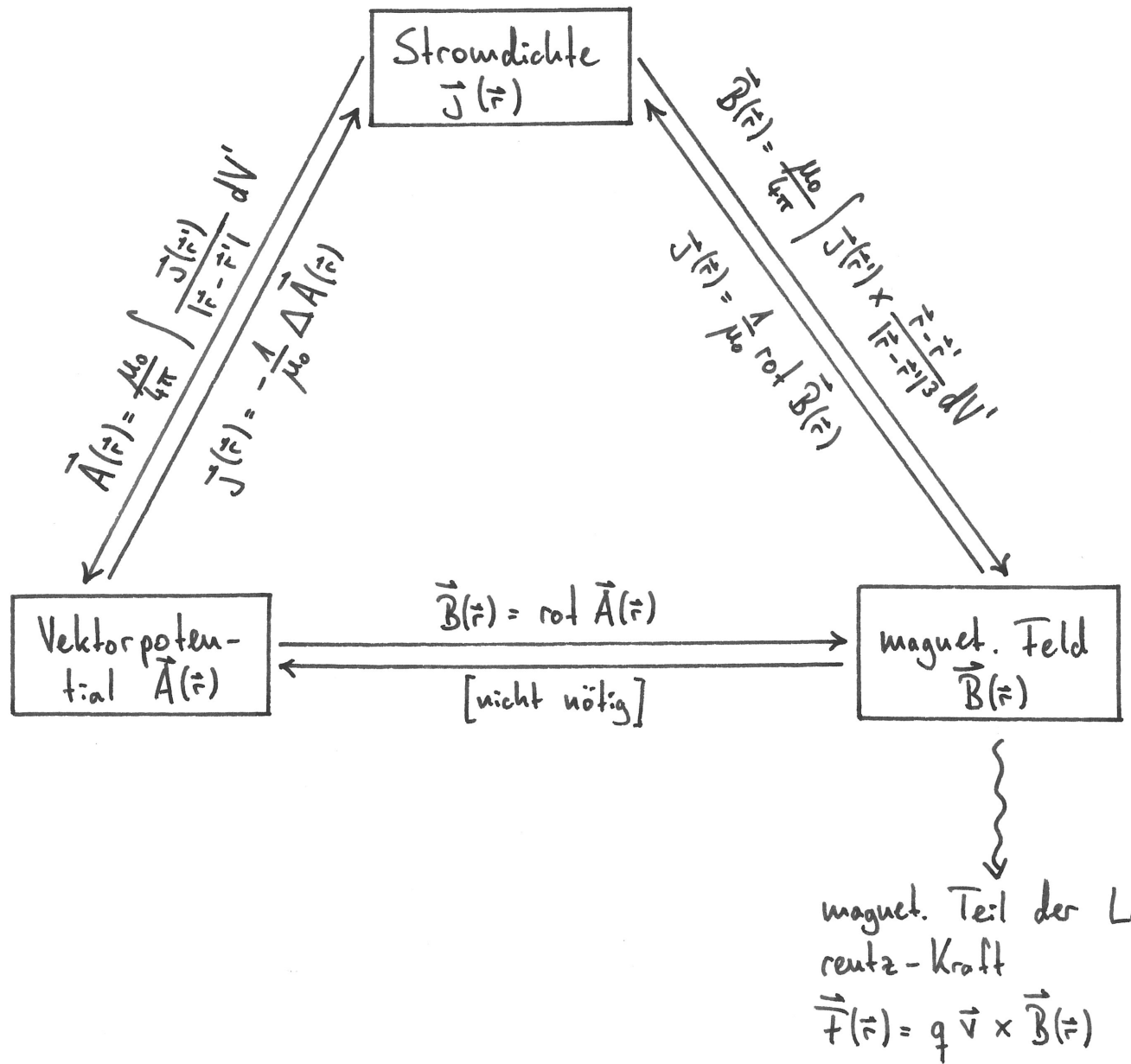
$$\Rightarrow a = r \frac{dA_z}{dr} \stackrel{!}{=} R \frac{dA_z}{dr} \Big|_R = -\frac{1}{2} R^2 \mu_0 j \stackrel{!}{=} -\frac{\mu_0 l}{2\pi} \\ j = \frac{l}{\pi R^2}$$

$$\Rightarrow \underline{A_z(r) = -\frac{\mu_0 l}{2\pi} \ln \frac{r}{r_0}}$$

Der Grenzübergang  $R \rightarrow 0$  für einen dünnen Draht ist gar nicht mehr nötig.

$$\vec{B}(r) = -\partial_r A_z(r) = \underline{\underline{\frac{\mu_0 l}{2\pi r} \vec{e}_\varphi}}$$

# Überblick Magnetostatik





# Der Maxwell'sche Spannungstensor

Man möchte Bewegungen und Verformungen beschreiben, welche auf der Wechselwirkung elektromagnetischer Felder mit Ladungen beruhen.

Einführung der Lorentz-Kraftdichte  $\vec{f}(\vec{r})$ ,  $[f] = \frac{N}{m^3}$ :

$$\vec{f}(\vec{r}) = \rho(\vec{r}) \vec{E}(\vec{r}) + \vec{j}(\vec{r}) \times \vec{B}(\vec{r})$$

Gesamtkraft auf ein Volumen  $V$ :  $\vec{F} = \int_V \vec{f}(\vec{r}') dV'$

Mit Hilfe der Maxwell-Gleichungen lassen sich die Ladungsdichten  $\rho(\vec{r})$  und Stromdichten  $\vec{j}(\vec{r})$  zugunsten der Felder eliminieren.

Definition des Maxwell'schen Spannungstensors:

$$\begin{aligned} T_{ij} &:= E_i D_j + H_i B_j - \delta_{ij} w \\ &\quad | \text{(Vakuum)} \\ &= \epsilon_0 E_i E_j + \frac{1}{\mu_0} B_i B_j - \delta_{ij} w \end{aligned}$$

$$\begin{aligned} \hat{T} &\in \text{Mat}(3, \mathbb{R}), \\ \hat{T}_{ij} &\equiv (\hat{T})_{ij}, \\ i, j &= 1, 2, 3 \end{aligned}$$

Dabei ist  $w$  die Energiedichte:

$$\begin{aligned} w &= \frac{1}{2} (E_i D_j + B_i H_j) \\ &\quad | \text{(Vakuum)} \\ &= \frac{1}{2} \left( \epsilon_0 \vec{E}^2 + \frac{1}{\mu_0} \vec{B}^2 \right). \end{aligned}$$

Definition des Poynting-Vektors:

$$\vec{S}(\vec{r}) := \vec{E}(\vec{r}) \times \vec{H}(\vec{r}) = \frac{1}{\mu_0} \vec{E}(\vec{r}) \times \vec{B}(\vec{r})$$

(Vakuum)

Mit diesen Definitionen lässt sich nun die Kraftdichte sehr kompakt schreiben:

$$\vec{f}(\vec{r}) = \operatorname{div} \hat{T}(\vec{r}) - \frac{1}{c^2} \partial_t \vec{S}(\vec{r}) = \operatorname{div} \hat{T}(\vec{r})$$

(Statik)

bzw.  $f_i = \sum_j \partial_{x_j} T_{ij} - \frac{1}{c^2} \partial_t S_i$

Für die Gesamtkraft gilt damit

$$\vec{F} = \int_V \vec{f}(\vec{r}') dV' = \int_V \operatorname{div} \hat{T}(\vec{r}') dV' = \int_V \hat{T}(\vec{r}') d\vec{A}'.$$

Das heißt: Die Gesamtkraft auf einen (endlichen) dielektrischen Körper ist immer mit Hilfe von Oberflächenkräften auszudrücken.

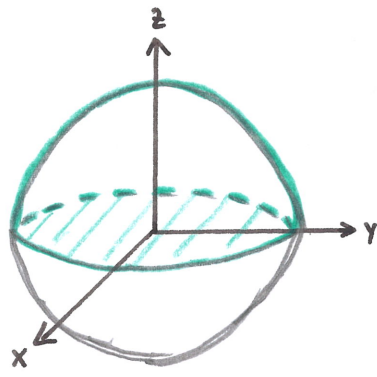
Der Eintrag  $T_{ij}$  gibt die i-te Komponente der Kraft auf ein Flächenelement, welches in j-Richtung zeigt.

→ Diagonalelemente  $T_{xx}, T_{yy}, T_{zz}$  → Drücke

→ nicht-Diagonalelemente  $T_{xy}, T_{xz}, \dots$  → Scherungen

- Bem:
- $\hat{T}$  gibt eine Impulsstromdichte, während  $\vec{S}$  die Bedeutung einer Energiestromdichte zukommt.
  - Der Maxwell'sche Spannungstensor taucht in der relativistischen Physik wieder auf als Teil des elektromagnet. Feldstärkentensors.
  - Man muss em. Feldern einen Impuls zuordnen, damit das 3. Newton'sche Gesetz unverletzt bleibt und Impulserhaltung gelten kann.

# Beispiel: Kraft auf eine Halbkugel



Radius:  $R$

Gesamtladung:  $Q$

Eine elektrisch geladene Vollkugel wird in 2 Hälften zerschnitten. Welche Kraft wirkt auf eine Hälfte?

elektrisches Feld: (außerhalb d. Kugel)

$$\vec{E}(\vec{r}) = \frac{1}{4\pi\epsilon_0} \frac{Q}{r^2} \vec{e}_r = \frac{1}{4\pi\epsilon_0} \frac{Q}{r^2} \begin{pmatrix} \sin\phi \cos\psi \\ \sin\phi \sin\psi \\ \cos\phi \end{pmatrix}$$

Die Kugel sei starr (keine Verformung). Wegen Rotationsymmetrie brauchen wir nur den  $z$ -Anteil der Kraft:

$$T_{zx} = \epsilon_0 E_z E_x = \epsilon_0 \left( \frac{Q}{4\pi\epsilon_0 r^2} \right)^2 \cos\phi \sin\phi \cos\psi$$

$$T_{zy} = \epsilon_0 E_z E_y = \epsilon_0 \left( \frac{Q}{4\pi\epsilon_0 r^2} \right)^2 \cos\phi \sin\phi \sin\psi$$

$$T_{zz} = \frac{\epsilon_0}{2} (E_z^2 - E_x^2 - E_y^2) = \frac{\epsilon_0}{2} \left( \frac{Q}{4\pi\epsilon_0 r^2} \right)^2 (\cos^2\phi - \sin^2\phi)$$

• Kuppel: Flächenelement  $d\vec{A} = R^2 \sin\phi d\phi d\psi \vec{e}_r$

$$(\hat{T} d\vec{A})_i = \sum_j T_{ij} (d\vec{A})_j$$

$$(\hat{T} d\vec{A})_z = T_{zx} dA_x + T_{zy} dA_y + T_{zz} dA_z$$

$$= \frac{\epsilon_0}{2} \left( \frac{Q}{4\pi\epsilon_0 r^2} \right)^2 R^2 \sin\phi \cos\phi d\phi d\psi$$

$$\rightarrow \vec{F}_1 = \int_{\text{Kuppel}} (\hat{T} d\vec{A})_z \vec{e}_z = \frac{\epsilon_0}{2} \left( \frac{Q}{4\pi\epsilon_0 R} \right)^2 2\pi \int_0^{\pi/2} \sin\phi \cos\phi d\phi \vec{e}_z$$

$$= \underline{\underline{\frac{1}{4\pi\epsilon_0} \frac{Q^2}{8R^2} \vec{e}_z}}$$

• Boden: Flächenelement  $d\vec{A} = -r dr d\phi \vec{e}_z$

Feld im Inneren d. Kugel:  $\vec{E}(\vec{r}) = \frac{1}{4\pi\epsilon_0} \frac{Q}{R^3} r \vec{e}_r$ ,

also am Boden ( $\mu = \frac{\pi}{2}$ ):  $\vec{E}(\vec{r}) = \frac{Q}{4\pi\epsilon_0 R^3} r \begin{pmatrix} \cos \psi \\ \sin \psi \\ 0 \end{pmatrix}$

$$\rightarrow T_{zz}(r) = \frac{\epsilon_0}{2} (E_z^2 - E_x^2 - E_y^2) = -\frac{\epsilon_0}{2} \left( \frac{Q}{4\pi\epsilon_0 R^3} \right)^2 r^2$$

$$\rightarrow (\hat{T} d\vec{A})_z = T_{zz} dA_z = \frac{\epsilon_0}{2} \left( \frac{Q}{4\pi\epsilon_0 R^3} \right)^2 r^3 dr d\psi$$

$$\rightarrow \vec{F}_2 = \int_{\text{Boden}} (\hat{T} d\vec{A})_z \vec{e}_z = \frac{\epsilon_0}{2} \left( \frac{Q}{4\pi\epsilon_0 R^3} \right)^2 2\pi \int_0^R r^3 dr \vec{e}_z$$

$$= \frac{1}{4\pi\epsilon_0} \frac{Q^2}{16R^2} \vec{e}_z$$

=> Gesamtkraft auf die Halbkugel:

$$\vec{F} = \vec{F}_1 + \vec{F}_2 = \underline{\underline{\frac{1}{4\pi\epsilon_0} \frac{3Q^2}{16R^2} \vec{e}_z}}$$

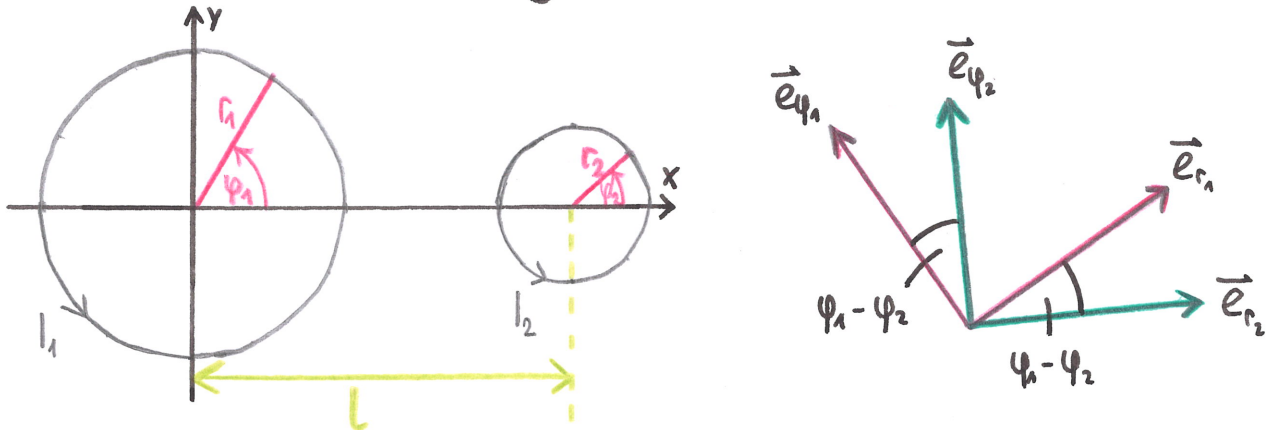
# Beispiel zur Berechnung eines Induktionskoeffizienten

Der Induktionskoeffizient ist eine rein geometrische Größe zur Beschreibung einer Anordnung dünner, strondurchflossener Leiter.

$$\text{Allgemein: } L_{ij} = \frac{\mu_0}{4\pi} \iint_{C_i C_j} \frac{d\vec{r}_i \cdot d\vec{r}_j}{|\vec{r}_i - \vec{r}_j|}$$

Ind.-Koeffizient zweier Leiterschleifen  $i, j$  mit Geometrien  $C_i, C_j$ .

Betrachte zwei kreisförmige Leiterschleifen in der Ebene.



$$L_{12} = \frac{\mu_0}{4\pi} \iint_{(1)(2)} \frac{d\vec{r}_1 \cdot d\vec{r}_2}{|\vec{r}_1 - \vec{r}_2|}$$

$$d\vec{r}_1 = r_1 d\varphi_1 \vec{e}_{\varphi_1}$$

$$\vec{r}_1 = r_1 \vec{e}_{r_1}$$

$$d\vec{r}_2 = r_2 d\varphi_2 \vec{e}_{\varphi_2}$$

$$\vec{r}_2 = l \vec{e}_x + r_2 \vec{e}_{r_2}$$

$$\Rightarrow d\vec{r}_1 \cdot d\vec{r}_2 = r_1 r_2 d\varphi_1 d\varphi_2 \vec{e}_{\varphi_1} \cdot \vec{e}_{\varphi_2} = r_1 r_2 \cos(\varphi_1 - \varphi_2) d\varphi_1 d\varphi_2$$

$$|\vec{r}_1 - \vec{r}_2| = \sqrt{(r_1 \vec{e}_{r_1} - r_2 \vec{e}_{r_2} - l \vec{e}_x)^2}$$

$$\leftarrow \vec{e}_{r_1} \cdot \vec{e}_{r_2} = \cos(\varphi_1 - \varphi_2), \quad \vec{e}_{r_1} \cdot \vec{e}_x = \cos \varphi_1, \quad \vec{e}_{r_2} \cdot \vec{e}_x = \cos \varphi_2$$

$$= \sqrt{r_1^2 + r_2^2 + l^2 - 2r_1 r_2 \cos(\varphi_1 - \varphi_2) - 2l r_1 \cos \varphi_1 + 2l r_2 \cos \varphi_2}$$

setze  $\varphi_1 = 0$ , u.s.w.



# Elektrostatik in Dielektrika - Beispiele

## A) geladene Metallkugel mit dielektrischer Hülle

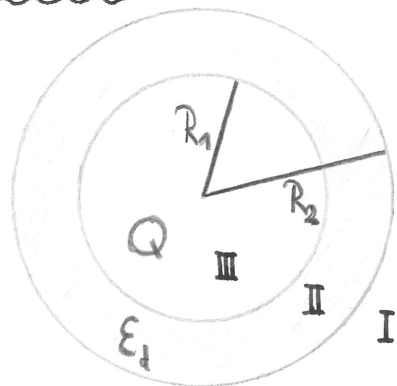
Kugel: Radius  $R_1$ , Ladung  $Q$

Hülle: Radius  $R_2$ , Permittivität  $\epsilon_d$

Man bestimme das Potential  $\phi_0$   $\phi(r=0)$ .

$$\phi(r) = - \int_{\infty}^r E(r') dr'$$

$$\text{im Zentrum: } \phi_0 = - \int_{\infty}^0 E(r') dr' = - \int_{\infty}^{R_2} E_I(r) dr - \int_{R_2}^{R_1} E_{II}(r) dr - \int_{R_1}^0 E_{III}(r) dr$$



- $E_{III} = 0$ , da Leiter

- $E_I = \frac{1}{4\pi\epsilon_0} \frac{Q}{r^2}$ , da  $\text{div}[\epsilon_0 \vec{E}(\vec{r}) + \vec{P}(\vec{r})] = \rho(\vec{r})$ ,  $\vec{P}(r > R_2) = 0$ ,  $\rho = 0$

- in II:

$$D(r) = \epsilon_0 \epsilon_d E(r) \quad (\text{lineares Medium})$$

$$\rightarrow \text{div}(\epsilon_0 \epsilon_d E(r)) = \rho(r) \rightarrow \text{wie zuvor, bloß } \epsilon_0 \rightarrow \epsilon_0 \epsilon_d$$

$$E_{II}(r) = \frac{1}{4\pi\epsilon_0\epsilon_d} \frac{Q}{r^2}$$

$$\Rightarrow \phi_0 = - \frac{Q}{4\pi\epsilon_0} \left( \int_{\infty}^{R_2} \frac{dr}{r^2} + \frac{1}{\epsilon_d} \int_{R_2}^{R_1} \frac{dr}{r^2} \right) = \underline{\underline{\frac{Q}{4\pi\epsilon_0} \left[ \frac{1}{R_2} + \frac{1}{\epsilon_d} \left( \frac{1}{R_1} - \frac{1}{R_2} \right) \right]}}$$

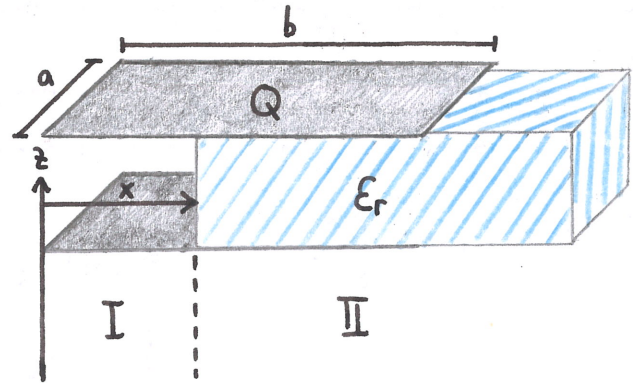
Das war leicht...



## B) Dielektrikum im Plattenkondensator

Ein lineares Dielektrikum ( $\epsilon_d$ ) befindet sich in einem Plattenkondensator (Fläche  $a \cdot b$ , Ladung  $Q$ ).

Annahme:  $\vec{E}(\vec{r}) = \begin{cases} E \vec{e}_z, & \text{innerhalb} \\ 0, & \text{sonst} \end{cases}$



und  $\vec{D}(\vec{r}) = \begin{cases} \epsilon_0 \epsilon_r \vec{E}(\vec{r}), & \text{im Dielektrikum} \\ \epsilon_0 \vec{E}(\vec{r}), & \text{sonst} \end{cases}$

→ Maxwell'scher Spannungstensor:  $T_{ij}(\vec{r}) = E_i(\vec{r}) D_j(\vec{r}) - \frac{1}{2} \delta_{ij} E_k(\vec{r}) D_k(\vec{r})$ ,

$$\hat{T} = \begin{pmatrix} 0 & 0 & 0 \\ 0 & 0 & 0 \\ 0 & 0 & E_z D_z - \frac{1}{2} E_z D_z \end{pmatrix}$$

Kraftdichte:  $f_i(\vec{r}) = \partial_{x_i} T_{ij}(\vec{r}) = 0 \quad \forall i$ , da  $E_z, D_z$  Konstanten

Es wirkt keine Kraft. Das ist offensichtlich falsch (Experiment)!

Die Annahme eines scharf abgegrenzten  $\vec{E}$ -Feldes war nicht erlaubt; das Ampère'sche Gesetz verbietet sie sogar:

$$\operatorname{rot} \vec{E}(\vec{r}) = 0$$

$$\int_A \operatorname{rot} \vec{E}(\vec{r}) d\vec{A} = \oint_{\partial A} \vec{E}(\vec{r}) d\vec{s} = 0.$$

$$\oint_{\partial A} \vec{E}(\vec{r}) d\vec{s} = s \cdot E_z + 0 \quad \downarrow$$

⇒ Das komplizierte inhomogene Feld an den Rändern des Kondensators verursacht die Kraft auf das Dielektrikum.

Das werden wir nicht freiwillig ausrechnen!

Wir nutzen die elektrostatische Energie für Raumladungs-freie Probleme (nur geladene Leiter):

$$W = \frac{1}{2} \sum_i \sum_j C_{ij} \phi_i \phi_j = \frac{1}{2} \sum_i \sum_j C^{-1}_{ij} Q_i Q_j .$$

Hier:

$$W = \frac{Q^2}{2C}, \quad C = C_I + C_{II} = \frac{\epsilon_0 a}{d} [x + \epsilon_r (b-x)] \quad \text{für } x \in [0, b]$$

$$= \frac{\epsilon_0 a}{d} (\epsilon_r b - \chi x), \quad \text{da } \epsilon_r = 1 + \chi .$$

Änderung der Energie durch Arbeit:  $dW = -F dx$

$$\rightarrow F(x) = -\frac{dW}{dx} = +\frac{Q}{2C^2} \frac{dC}{dx} \quad (\text{Minimierung der elektrostatischen Energie})$$

$$= -\frac{a \epsilon_0 (\epsilon_r - 1) Q^2}{2d C^2(x)} = \frac{dQ^2}{2a \epsilon_0} \frac{\epsilon_r - 1}{[x(1-\epsilon_r) + b\epsilon_r]^2}$$

## C Ladung zwischen zwei Medien

Dielektrika:  $\epsilon_1$  für  $z > 0$ ,  $\epsilon_2$  für  $z < 0$

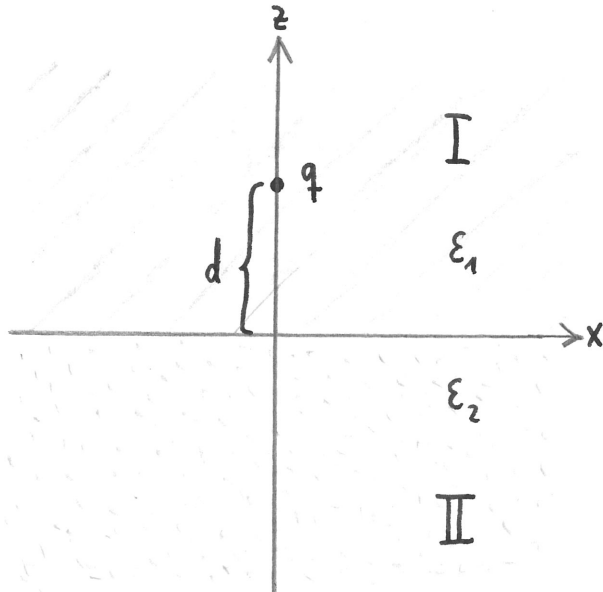
Punktladung bei  $\vec{r}_q = (x_q, y_q, d)$

Setze o.B.d.A.  $x_q = 0 = y_q$ .

Poisson-Gleichungen:

$$\text{I: } -\epsilon_0 \epsilon_1 \Delta \phi_I(\vec{r}) = \rho_{\text{ext}}(\vec{r})$$

$$\text{II: } -\epsilon_0 \epsilon_2 \Delta \phi_{\text{II}}(\vec{r}) = 0$$



Das Potential muss an der Grenzfläche stetig übergehen (sonst  $|\vec{E}| \rightarrow \infty$ ) und die Normalkomponente des Feldes:

$$\epsilon_1 \frac{\partial \phi_I}{\partial n} \stackrel{!}{=} \epsilon_2 \frac{\partial \phi_{\text{II}}}{\partial n}.$$

Die Lösung für beliebige Ladungsverteilungen ist durch eine Greensche Funktion gegeben (je Gebiet):

$$\phi_I(\vec{r}) = \int_{\mathbb{R}^3} dV' \rho_{\text{ext}}(\vec{r}') G_I(\vec{r}, \vec{r}') , \quad \phi_{\text{II}}(\vec{r}) = \int_{\mathbb{R}^3} dV' \rho_{\text{ext}}(\vec{r}') G_{\text{II}}(\vec{r}, \vec{r}')$$

$$\text{mit } -\epsilon_0 \epsilon_1 \Delta G_I(\vec{r}, \vec{r}') = \delta(\vec{r} - \vec{r}') , \quad -\epsilon_0 \epsilon_2 \Delta G_{\text{II}}(\vec{r}, \vec{r}') = 0.$$

$$\text{Ausatz: } G_I(\vec{r}, \vec{r}') = \frac{1}{4\pi \epsilon_0 \epsilon_1} \left( \frac{1}{|\vec{r} - \vec{r}'|} + \frac{A}{|\vec{r} - \vec{r}_s|} \right) , \quad \vec{r}_s = \begin{pmatrix} x' \\ y' \\ -z' \end{pmatrix}$$

$$G_{\text{II}}(\vec{r}, \vec{r}') = \frac{1}{4\pi \epsilon_0 \epsilon_2} \frac{B}{|\vec{r} - \vec{r}'|} , \quad \text{dielektr. Spiegelladung bei } \vec{r}_s$$

$$\bullet \text{ stetiger Übergang: } G_I(z=0, \vec{r}') \stackrel{!}{=} G_{\text{II}}(z=0, \vec{r}')$$

$$\frac{1}{\epsilon_1} \left[ \frac{1}{\sqrt{(x-x')^2 + (y-y')^2 + z'^2}} + \frac{A}{\sqrt{(x-x')^2 + (y-y')^2 + z'^2}} \right] = \frac{1}{\epsilon_2} \frac{B}{\sqrt{(x-x')^2 + (y-y')^2 + z'^2}}$$

$$\Rightarrow \underline{\epsilon_2(1+A) = \epsilon_1 B} \quad (*)$$

$$\cdot \text{Normalkomponente : } \left. \varepsilon_1 \frac{\partial G_I}{\partial z} \right|_{z=0} \stackrel{!}{=} \left. \varepsilon_2 \frac{\partial G_{II}}{\partial z} \right|_{z=0}$$

$$\left( -\frac{z'}{|\vec{r} - \vec{r}'|^3} + \frac{A z'}{|\vec{r} - \vec{r}_s'|^3} \right)_{z=0} = -\frac{B z'}{|\vec{r} - \vec{r}'|^3} \Big|_{z=0}$$

$$\Rightarrow \underline{1-A=B} \quad (**)$$

(\*) & (\*\*):

$$A = \frac{\varepsilon_1 - \varepsilon_2}{\varepsilon_1 + \varepsilon_2}, \quad B = \frac{2\varepsilon_2}{\varepsilon_1 + \varepsilon_2}$$

→ Damit sind die Green'schen Funktionen bekannt und das Problem ist gelöst für eine beliebige Ladungsverteilung, die sich in I befindet.

Punktladung:  $\delta_{ext}(\vec{r}) = q \delta(\vec{r} - \vec{r}_q)$

$$\Rightarrow \Phi_I(\vec{r}) = \frac{q}{4\pi \varepsilon_0 \varepsilon_1} \left( \frac{1}{|\vec{r} - \vec{r}_q|} + \frac{\varepsilon_1 - \varepsilon_2}{\varepsilon_1 + \varepsilon_2} \frac{1}{|\vec{r} - \vec{r}_s|} \right)$$

$$= \frac{q}{4\pi \varepsilon_0 \varepsilon_1} \left[ \frac{1}{\sqrt{x^2 + y^2 + (z-d)^2}} + \frac{\varepsilon_1 - \varepsilon_2}{\varepsilon_1 + \varepsilon_2} \frac{1}{\sqrt{x^2 + y^2 + (z+d)^2}} \right], \quad \vec{r} \in I$$

$$\Phi_{II}(\vec{r}) = \frac{q}{4\pi \varepsilon_0} \left( \frac{2}{\varepsilon_1 + \varepsilon_2} \frac{1}{|\vec{r} - \vec{r}_s|} \right)$$

$$= \frac{q}{4\pi \varepsilon_0} \frac{2}{\varepsilon_1 + \varepsilon_2} \frac{1}{\sqrt{x^2 + y^2 + (z-d)^2}}, \quad \vec{r} \in II$$

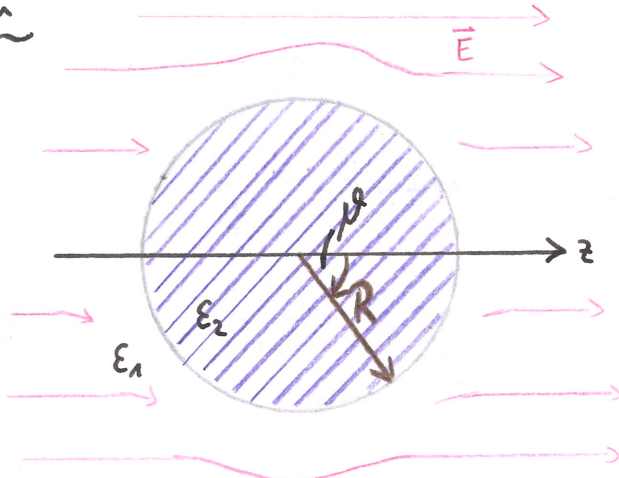
Für eine Ladung, die genau auf der Grenzfläche sitzt, lässt sich ein Grenzübergang  $d \rightarrow 0$  durchführen:

$$\Phi_I(\vec{r}) \rightarrow \frac{q}{4\pi \varepsilon_0 \varepsilon_1} \frac{1}{|\vec{r}|} \left( 1 + \frac{\varepsilon_1 - \varepsilon_2}{\varepsilon_1 + \varepsilon_2} \right) = \frac{2}{\varepsilon_1 + \varepsilon_2} \frac{q}{4\pi \varepsilon_0 r}$$

$$\Phi_{II}(\vec{r}) \rightarrow \frac{2}{\varepsilon_1 + \varepsilon_2} \frac{q}{4\pi \varepsilon_0 r}$$

## D) Dielektrische Kugel im Dielektrikum

Eine dielektrische Kugel (Radius  $R$ , Permittivität  $\epsilon_2$ ) befindet sich in einem Dielektrikum ( $\epsilon_1$ ) unter Einfluss eines im Unendlichen homogenen elektr. Feldes,  $\vec{E}(|\vec{r}| \rightarrow \infty) = E_z \hat{e}_z$ .



Man bestimme Potential und Feld im gesamten Raum.

Wir wählen Kugelkoordinaten um die  $z$ -Achse, sodass azimuthale Symmetrie vorliegt (keine  $\varphi$ -Abhängigkeit) und wir das bereits bekannte Ergebnis für die Laplace-Gleichung nutzen können:

$$\Phi(r, \varphi) = \sum_{l=0}^{\infty} [A_l r^l + B_l r^{-(l+1)}] P_l(\cos \varphi) \text{ mit Legendre-Polynomen } P_l.$$

→ innere und äußere Lösung  $\Phi^{(i)}(r, \varphi)$ ,  $\Phi^{(a)}(r, \varphi)$  mit 4 Familien von Konstanten  $A_i^{(i)}, B_i^{(i)}, A_i^{(a)}, B_i^{(a)}$

- 1. Forderung:  $\Phi^{(i)}(r=0) \stackrel{!}{<} \infty$   
 $\Rightarrow \underline{B_i^{(i)} = 0} \quad \forall l$

- 2. Forderung:  $\vec{E}(r \rightarrow \infty) \stackrel{!}{=} E_z \hat{e}_z$

$$\begin{aligned} \vec{E}(r > R) &= -\operatorname{grad} \Phi^{(a)}(r, \varphi) = -\partial_r \Phi^{(a)}(r, \varphi) \hat{e}_r - \frac{1}{r} \partial_\varphi \Phi^{(a)}(r, \varphi) \hat{e}_\varphi \\ &= -\sum_{l=0}^{\infty} \left[ l A_i^{(a)} r^{l-1} - (l+1) B_i^{(a)} r^{-(l+2)} \right] P_l(\cos \varphi) \hat{e}_r \\ &\quad - \sum_{l=0}^{\infty} \left[ A_i^{(a)} r^{l-1} + B_i^{(a)} r^{-(l+2)} \right] \partial_\varphi P_l(\cos \varphi) \hat{e}_\varphi \end{aligned}$$

$r \rightarrow \infty$ : alle  $B_i^{(a)}$ -Terme verschwinden,  
damit  $\Phi^{(a)}(r \rightarrow \infty) < \infty$  muss  $\underline{A_i^{(a)} = 0 \text{ für } l \geq 2}$

$$\rightarrow \vec{E}(r \rightarrow \infty) = \lim_{r \rightarrow \infty} \vec{E}(r, \varphi) = -A_1^{(a)} P_1(\cos \varphi) \hat{e}_r - A_1^{(a)} \partial_\varphi P_1(\cos \varphi) \hat{e}_\varphi$$

Mit  $\hat{P}_n(x) = x$ :

$$A_n^{(a)} (\sin \varphi \vec{e}_\theta - \cos \varphi \vec{e}_r) = -A_n^{(a)} \vec{e}_2 \stackrel{!}{=} E_2 \vec{e}_2 \Rightarrow \underline{A_n^{(a)} = -E_2}$$

• 3. Forderung:  $\phi^{(i)}(R, \rho) \stackrel{!}{=} \phi^{(a)}(R, \rho)$

$$\sum_{l=0}^{\infty} A_l^{(i)} R^l P_l(\cos \varphi) = A_0^{(a)} P_0(\cos \varphi) - E_2 R \cos \varphi + \sum_{l=0}^{\infty} B_l^{(a)} R^{-(l+1)} P_l(\cos \varphi)$$

Mit  $P_0(x) = 1$ :

$$\text{LHS} = \underbrace{A_0^{(i)}}_{l=0} + \underbrace{A_1^{(i)} R \cos \varphi}_{l=1} + \sum_{l=2}^{\infty} A_l^{(i)} R^l P_l(\cos \varphi)$$

$$\text{RHS} = \overbrace{A_0^{(a)} + \frac{1}{R} B_0^{(a)}}^{l=0} - E_2 R \cos \varphi + \overbrace{\frac{1}{R^2} B_1^{(a)} \cos \varphi}^{l=1} + \sum_{l=2}^{\infty} B_l^{(a)} R^{-(l+1)} P_l(\cos \varphi)$$

Die Orthogonalität<sup>a</sup> der  $P_l(x)$ , also  $\langle P_n(x), P_m(x) \rangle \sim \delta_{nm}$ , ermöglicht einen Koeffizientenvergleich:

$$l=0: A_0^{(i)} = A_0^{(a)} + \frac{1}{R} B_0^{(a)}$$

$$l=1: A_1^{(i)} R = -E_2 R + \frac{1}{R^2} B_1^{(a)}$$

$$l \geq 2: A_l^{(i)} R^l = B_l^{(a)} R^{-(l+1)}$$

• 4. Forderung:  $\varepsilon_1 \partial_r \phi^{(a)} \Big|_R \stackrel{!}{=} \varepsilon_2 \partial_r \phi^{(i)} \Big|_R$

$$\partial_r \phi^{(a)}(r, \rho) = -E_2 P_1(\cos \varphi) - \sum_{l=0}^{\infty} (l+1) B_l^{(a)} r^{-(l+2)} P_l(\cos \varphi)$$

$$\partial_r \phi^{(i)}(r, \rho) = \sum_{l=0}^{\infty} l A_l^{(i)} r^{l-1} P_l(\cos \varphi)$$

$$l=0: -\varepsilon_1 B_0^{(a)} \frac{1}{R^2} = 0 \rightarrow \underline{B_0^{(a)} = 0}$$

$$l=1: -\varepsilon_1 E_2 - \frac{2\varepsilon_1}{R^3} B_1^{(a)} = \varepsilon_2 A_1^{(i)}$$

$$l \geq 2: -\varepsilon_1 (l+1) B_l^{(a)} R^{-(l+2)} = \varepsilon_2 l A_1^{(i)} R^{l-1}$$

1: bzgl. Skalarprodukt  $\langle f, g \rangle = \int_{-1}^1 f(x) g(x) dx$  auf dem Hilbertraum

Zusammen:

$$l=0: \quad B_0^{(i)} = 0 = B_0^{(a)}, \quad A_0^{(i)} = A_0^{(a)} = A$$

$$l=1: \quad B_1^{(a)} = R^3 \frac{\epsilon_2 - \epsilon_1}{2\epsilon_1 + \epsilon_2} E_z, \quad A_1^{(i)} = -\frac{3\epsilon_1}{2\epsilon_1 + \epsilon_2} E_z$$

$$l \geq 2: \quad A_l^{(i)} = 0 = B_l^{(a)} \quad \forall l \geq 2$$

$$\rightarrow \phi^{(i)}(r, \varphi) = A - \frac{3\epsilon_1}{2\epsilon_1 + \epsilon_2} E_z \cos \varphi r, \quad r \leq R$$

$$\phi^{(a)}(r, \varphi) = A - \left( E_z r + R^3 \frac{\epsilon_1 - \epsilon_2}{2\epsilon_1 + \epsilon_2} \frac{E_z}{r^2} \right) \cos \varphi, \quad r \geq R$$

o.B.d.A.:  $A \stackrel{!}{=} 0$

$$\phi(r, \varphi) = \begin{cases} -\frac{3\epsilon_1}{2\epsilon_1 + \epsilon_2} E_z \cos \varphi r, & r \leq R \\ -E_z \left( r + R^3 \frac{\epsilon_1 - \epsilon_2}{2\epsilon_1 + \epsilon_2} \frac{1}{r^2} \right) \cos \varphi, & r \geq R \end{cases}$$

||

Bem: Wegen des bis ins Unendliche reichenden  $\vec{E}$ -Feldes sind keine natürlichen Randbedingungen möglich.

Für das elektrische Feld erhält man

$$\vec{E}(r, \varphi) = -\operatorname{grad} \phi(r, \varphi) = \begin{cases} \frac{3\epsilon_1}{2\epsilon_1 + \epsilon_2} E_z \vec{e}_z, & r \leq R \\ E_z \vec{e}_z + E_z R^3 \frac{\epsilon_2 - \epsilon_1}{2\epsilon_1 + \epsilon_2} \frac{1}{r^3} (2 \cos \varphi \vec{e}_r + \sin \varphi \vec{e}_\varphi), & r \geq R \end{cases}$$

D.h. falls  $\epsilon_2 < \epsilon_1$ , ist  $E^{(i)} > E_z$ ! Durch Anlegen eines äußeren Feldes erzeugt man ein stärkeres Feld im inneren. Diesen Effekt bezeichnet man als „Feldüberhöhung“ im dielektrischen Hohlraum.



# Elektromagnetische Wellen

Maxwell-Gleichungen im Vakuum:

$$\begin{aligned} \epsilon_0 \operatorname{div} \vec{E}(\vec{r}, t) &= 0 & \operatorname{div} \vec{B}(\vec{r}, t) &= 0 \\ \operatorname{rot} \vec{E}(\vec{r}, t) + \partial_t \vec{B}(\vec{r}, t) &= 0 & c^2 \operatorname{rot} \vec{B}(\vec{r}, t) &= \partial_t \vec{E}(\vec{r}, t) \end{aligned}$$

a)  $\operatorname{rot} \operatorname{rot} \vec{E}(\vec{r}, t) = -\operatorname{rot} \partial_t \vec{B}(\vec{r}, t) = -\frac{1}{c^2} \partial_t^2 \vec{E}(\vec{r}, t)$

$$\begin{matrix} \text{grad} & \operatorname{div} \vec{E}(\vec{r}, t) - \Delta \vec{E}(\vec{r}, t) \\ \text{O} & \swarrow \end{matrix}$$

$$\Rightarrow \square \vec{E}(\vec{r}, t) = \Delta \vec{E}(\vec{r}, t) - \frac{1}{c^2} \partial_t^2 \vec{E}(\vec{r}, t) = 0$$

analog:  $\square \vec{B}(\vec{r}, t) = \Delta \vec{B}(\vec{r}, t) - \frac{1}{c^2} \partial_t^2 \vec{B}(\vec{r}, t) = 0$

$\left. \begin{array}{l} \text{Wellengleichungen für die} \\ \text{elektromagnetischen Felder} \end{array} \right\}$

b) Lorenz-Eichung:  $\operatorname{div} \vec{A}(\vec{r}, t) + \frac{1}{c^2} \partial_t \phi(\vec{r}, t) = 0$

Mit  $\vec{B}(\vec{r}, t) = \operatorname{rot} \vec{A}(\vec{r}, t)$ ,  $\vec{E}(\vec{r}, t) = -\operatorname{grad} \phi(\vec{r}, t) - \partial_t \vec{A}(\vec{r}, t)$  folgt:

$$\operatorname{rot} \vec{B}(\vec{r}, t) = \operatorname{rot} \operatorname{rot} \vec{A}(\vec{r}, t) = \operatorname{grad} \operatorname{div} \vec{A}(\vec{r}, t) - \Delta \vec{A}(\vec{r}, t)$$

$$\frac{1}{c^2} \partial_t \vec{E}(\vec{r}, t) = -\frac{1}{c^2} \operatorname{grad} \partial_t \phi(\vec{r}, t) - \frac{1}{c^2} \partial_t^2 \vec{A}(\vec{r}, t)$$

$$\Rightarrow \Delta \vec{A}(\vec{r}, t) - \frac{1}{c^2} \partial_t^2 \vec{A}(\vec{r}, t) = \operatorname{grad} [\operatorname{div} \vec{A}(\vec{r}, t) + \frac{1}{c^2} \partial_t \phi(\vec{r}, t)] = 0.$$

Außerdem:  $\operatorname{div} \vec{E}(\vec{r}, t) = -\operatorname{div} \operatorname{grad} \phi(\vec{r}, t) - \partial_t \operatorname{div} \vec{A}(\vec{r}, t)$   
 $= -\Delta \phi(\vec{r}, t) + \frac{1}{c^2} \partial_t^2 \phi(\vec{r}, t) = 0.$

$$\Rightarrow \begin{aligned} \square \vec{A}(\vec{r}, t) &= 0 \\ \square \phi(\vec{r}, t) &= 0 \end{aligned}$$

Wellengleichungen für die Potentiale

c) Coulomb-Eichung:  $\operatorname{div} \vec{A}(\vec{r}, t) = 0$

$$\operatorname{div} \vec{E}(\vec{r}, t) = -\operatorname{div} \operatorname{grad} \phi(\vec{r}, t) - \partial_t \operatorname{div} \vec{A}(\vec{r}, t) = 0$$

$$\Rightarrow \underline{\Delta \phi(\vec{r}, t) = 0} \quad \text{Laplace-Gleichung für } \phi$$

Außerdem lässt sich erreichen, dass  $\vec{E}(\vec{r}, t) = -\partial_t \vec{A}(\vec{r}, t)$ .

$$\Rightarrow \boxed{\nabla^2 \vec{A}(\vec{r}, t) = 0} \quad \text{Wellengleichung}$$

Ebene Wellen lösen die Wellengl., sie sind die Normalmoden des Systems, aus denen sich jede andere Lösung zusammensetzen lässt.

Elementarlösung:  $\vec{A}(\vec{r}, t) = \vec{A}_0 e^{i(\vec{k}\vec{r} - \omega t)}$

Bem: Hier wurde  $\vec{A}$  in die komplexen Zahlen fortgesetzt. Von physikalischer Bedeutung ist nur der Realteil.

Die Flächen konstanter Phase sind Ebenen (daher der Name):

$$\vec{k}\vec{r} = \text{const.} \quad (\text{für festes } t)$$

Coulomb-Eichung:  $\text{div } \vec{A}(\vec{r}, t) = i \vec{k} \cdot \vec{A}_0 e^{i(\vec{k}\vec{r} - \omega t)} = 0$

$$\Rightarrow \vec{k} \cdot \vec{A}_0 = 0, \quad \vec{k} \perp \vec{A}_0 \rightarrow \text{sog. „transversale Eichung“}$$

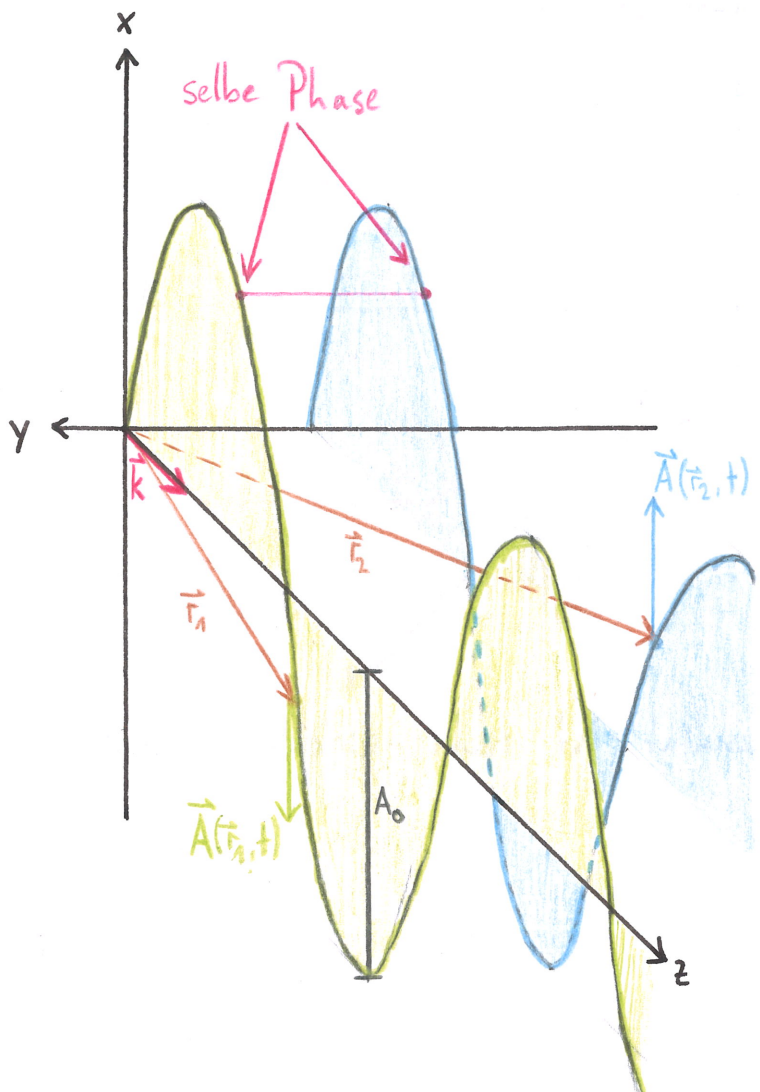
Einsetzen in die Wellengleichung:

$$\Delta \vec{A}(\vec{r}, t) = -\vec{k}^2 \vec{A}(\vec{r}, t) = \frac{1}{c^2} \partial_t^2 \vec{A}(\vec{r}, t) = -\omega^2 \vec{A}(\vec{r}, t) / c^2$$

$$\Rightarrow \underline{k^2 = \frac{\omega^2}{c^2}} \quad \text{Dispersionsrelation } k(\omega) \text{ im Vakuum}$$

Skizze:

$$\vec{k} = k\hat{e}_z, \vec{A}_0 = A_0\hat{e}_x$$



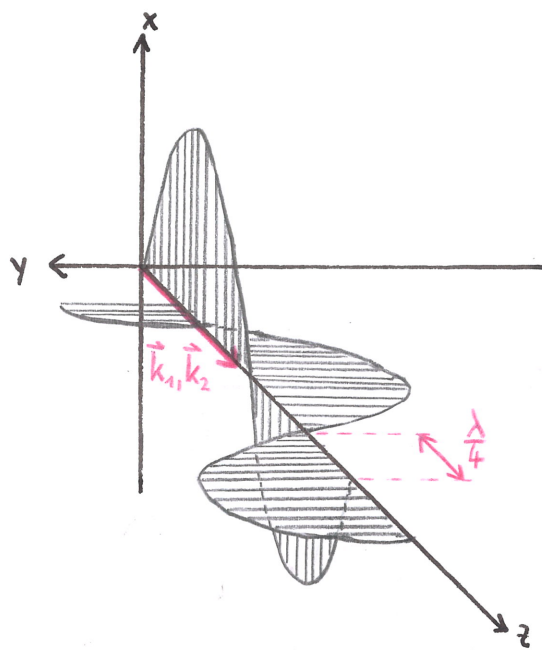
### Polarisation:

Man betrachte das Feld an einem festen Punkt, z.B.  $\vec{A}(\vec{r}_1, t)$ . Lässt man die Zeit laufen, so ändert sich der Betrag von  $\vec{A}$  periodisch mit der Zeit zwischen 0 und  $A_0$ , die Richtung bleibt jedoch immer  $\hat{e}_x$ . Das nennt man „lineare Polarisation“.

Zirkular polarisierte ebene Wellen erhält man bspw. durch Überlagerung zweier linear polarisierter Wellen. Dann rotiert der Vektor des Gesamtfeldes auf einem Kreis (links- oder rechtsumlaufend).

Ebenso gibt es elliptisch polarisierte Wellen.

Überlagerung zweier linear pol. Wellen:



Das Resultat ist rechts-zirkular polarisiert.

# Betrachtungen zur Wellengleichung

Wellengleichung in 1 Dimension:

$$\square \phi(x,t) = \partial_x^2 \phi(x,t) - \frac{1}{c^2} \partial_t^2 \phi(x,t) = 0$$

$$+ \text{Anfangsbedingungen } \phi(x,t=0) = \phi_0, \quad \partial_t \phi(x,t) \Big|_{t=0} = \phi'_0$$

- Bem:
- Durch eine Koordinatentransformation der Form  $X = x + t$ ,  $T = x - t$  lässt sich die Wellengleichung auch als  $\partial_X \partial_T \phi(X,T) = 0$  schreiben.
  - Jede beliebige Funktion der Form  $f(kx \pm \omega t)$  mit  $k^2 = \omega^2/c^2$  löst die Wellengleichung.

Fourier-Transformation, also

$$\begin{aligned} \text{Ortsraum} &\rightarrow \text{Ortsfrequenzraum} \\ \phi(x,t) &\rightarrow \tilde{\phi}(k,t) \\ \partial_x^2 &\rightarrow (ik)^2, \end{aligned}$$

führt auf

$$\partial_t^2 \tilde{\phi}(k,t) = -k^2 c^2 \tilde{\phi}(k,t)$$

und die Elementarlösung lässt sich sofort aufschreiben:

$$\tilde{\phi}(k,t) = A(k) e^{i\omega(k)t} + B(k) e^{-i\omega(k)t} \quad \text{mit } \omega(k) := ck.$$

Rücktransformation:

$$\phi(x,t) = \int_{-\infty}^{\infty} \tilde{\phi}(k,t) e^{ikx} dk = \int_{-\infty}^{\infty} [A(k) e^{i(\omega t + kx)} + B(k) e^{-i(\omega t - kx)}] dk$$

D.h., die allgemeine Lösung ist eine lineare Superposition ebener Wellen (mit Wellenzahlen  $k$ ) mit Fourier-Koeffizienten  $A(k)$  und  $B(k)$ .

Wegen  $k = k(\omega)$  kann man auch über  $\omega$  integrieren.

Für  $t=0$  gilt

$$\phi(x, 0) = \int_{-\infty}^{\infty} (A(k) + B(k)) e^{ikx} dk \quad \text{und}$$

$$\partial_t \phi \Big|_{t=0} = i \int_{-\infty}^{\infty} \omega(k) (A(k) - B(k)) e^{ikx} dk$$

und man bestimmt die Koeffizienten per Rücktransformation aus den Anfangsbedingungen:

$$A(k) + B(k) = \frac{1}{2\pi} \int_{-\infty}^{\infty} \phi_0(x) e^{-ikx} dx,$$

$$A(k) - B(k) = \frac{1}{i\omega(k)} \frac{1}{2\pi} \int_{-\infty}^{\infty} \phi'_0(x) e^{-ikx} dx.$$

Wellenfronten  $\phi(x, t) \stackrel{!}{=} \text{const}$  breiten sich offenbar mit Geschwindigkeit  $c$  aus:  $kx \pm \omega t = 0 \Rightarrow c = \pm \frac{x}{t},$

" $\pm$ " für ein- und auslaufende Wellen.

## Ebene Wellen im Fourier-Raum

Wir betrachten (formal) die Fourier-Transformation der Delta-Distribution:

$$\mathcal{F}^{-1}[\delta(\omega)] = \int_{-\infty}^{\infty} \delta(\omega) e^{-i\omega t} d\omega = 1$$

$$\Rightarrow \mathcal{F}[1] = \frac{1}{2\pi} \int_{-\infty}^{\infty} 1 \cdot e^{i\omega t} dt = \delta(\omega)$$

Die  $\delta$ -Distribution lässt sich als Überlagerung ebener Wellen darstellen. Eine ebene Welle (fester Frequenz) entspricht einem Punkt im Fourier-Raum.

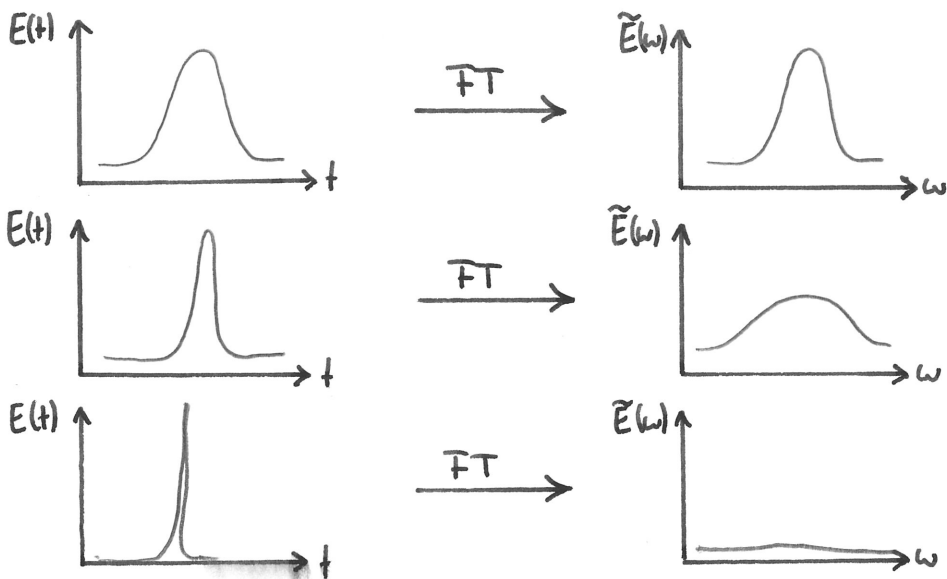
Ebene Wellen bilden eine „Basis“, aus der sich beliebige Lösungen der Wellengl. zusammensetzen lassen.

Bsp.: Frequenzspektrum eines Gauß-Pulses

$$E(t) = E_0 e^{-\frac{t^2}{\tau^2}}$$

$$\tilde{E}(\omega) = \mathcal{F}[E(t)] = \frac{E_0}{2\pi} \int_{-\infty}^{\infty} e^{-\frac{t^2}{\tau^2} + i\omega t} dt = \frac{\tau E_0}{\sqrt{4\pi}} e^{-\omega^2 \frac{\tau^2}{4}}$$

Man erhält wieder eine Gaußverteilung. Sie hat Breite  $\frac{4}{\tau^2}$ .





# Elektromagnetische Wellen im Dielektrikum (unmagnetisch, $\mu=1$ )

Die Permittivität  $\epsilon = 1 + \chi$  ist im Allgemeinen:

- **ortsabhängig:**  $\epsilon = \epsilon(\vec{r})$ , inhomogene Medien
- **frequenzabhängig:**  $\epsilon = \epsilon(\vec{r}, \omega)$ , d.h. frequenzabhängige Absorption / Dispersion

$$\text{Dispersionsrelation: } k^2(\omega) = \frac{\omega^2}{c^2} \epsilon(\omega)$$

Bsp.: Durchlässigkeit von Pappe (Licht / Funk)

- **richtungsabhängig:**  $\hat{\epsilon}(\vec{r}, \omega) = \begin{pmatrix} \epsilon_{xx} & \epsilon_{xy} & \epsilon_{xz} \\ \epsilon_{yx} & \epsilon_{yy} & \epsilon_{yz} \\ \epsilon_{zx} & \epsilon_{zy} & \epsilon_{zz} \end{pmatrix}$ , anisotrope Medien

Tensor, führt auf Kristallogistik (Brechungsindex-Ellipsoid)

- **komplex:**  $\epsilon(\vec{r}, \omega) = \operatorname{Re} \epsilon(\vec{r}, \omega) + i \operatorname{Im} \epsilon(\vec{r}, \omega)$

$\operatorname{Re} \epsilon$  beschreibt Dispersion.  
 $\operatorname{Im} \epsilon$  beschreibt Absorption.

} Verknüpfung durch „Kramers-Kronig-Relation“

Wechselwirkungen im Dielektrikum:

- Valenzelektronen
- freie Elektronen (Plasmonen)
- Gitterschwingungen (Phononen)

Der Zusammenhang  $\vec{P}[\vec{E}]$  ist durch Faltung mit der sog. „Response-Funktion“ gegeben:

$$\vec{P}(\vec{r}, t) = \epsilon_0 \hat{R}(\vec{r}, t) * \vec{E}(\vec{r}, t) = \epsilon_0 \int_0^\infty \hat{R}(\vec{r}, \tau) \vec{E}(\vec{r}, t-\tau) d\tau.$$

Die Integration beginnt bei 0, nicht  $-\infty$ , um avancierte Felder auszuschließen (Abhängigk. von zukünftigen Zeiten).

Der Faltung entspricht im Fourier-Raum eine Multiplikation:

$$\overline{\overline{\hat{P}}}(\vec{r}, \omega) = \varepsilon_0 \hat{X}(\vec{r}, \omega) \overline{\overline{\hat{E}}}(\vec{r}, \omega).$$

Wir beschränken uns auf ein homogenes ( $\hat{E}(\vec{r}, \omega)$ ), isotropes ( $\varepsilon_{ij} = \varepsilon$ ), transparentes ( $\operatorname{Im} \varepsilon(\omega) = 0$ ) Medium.

$$\operatorname{rot} \vec{E}(\vec{r}, t) + \mu_0 \partial_t \vec{H}(\vec{r}, t) = 0$$

$$\operatorname{rot} \vec{H}(\vec{r}, t) = -\mu_0 \partial_t \vec{D}(\vec{r}, t) \quad (\text{keine makrosk. Ströme})$$

$$\rightarrow \operatorname{rot} \operatorname{rot} \vec{E}(\vec{r}, t) = -\mu_0 \partial_t \operatorname{rot} \vec{H}(\vec{r}, t) = -\mu_0 \partial_t^2 \vec{D}(\vec{r}, t)$$

$$\text{Fourier-Raum: } \overline{\overline{\vec{D}}}(\vec{r}, \omega) = \varepsilon_0 \varepsilon(\omega) \overline{\overline{\vec{E}}}(\vec{r}, \omega), \quad \partial_t \rightarrow -i\omega$$

$$\rightarrow \operatorname{rot} \operatorname{rot} \overline{\overline{\vec{E}}}(\vec{r}, \omega) = \mu_0 \omega^2 \overline{\overline{\vec{D}}}(\vec{r}, \omega) = \frac{\omega^2}{c^2} \varepsilon(\omega) \overline{\overline{\vec{E}}}(\vec{r}, \omega)$$

$$\text{Mit } \operatorname{div} \overline{\overline{\vec{D}}}(\vec{r}, \omega) = \varepsilon_0 \operatorname{div} \left( \varepsilon(\omega) \overline{\overline{\vec{E}}}(\vec{r}, \omega) \right) = 0 \Rightarrow \operatorname{div} \overline{\overline{\vec{E}}}(\vec{r}, \omega) = 0,$$

$$\operatorname{rot} \operatorname{rot} \overline{\overline{\vec{E}}}(\vec{r}, \omega) = \operatorname{grad} \underset{0}{\operatorname{div}} \overline{\overline{\vec{E}}}(\vec{r}, \omega) - \Delta \overline{\overline{\vec{E}}}(\vec{r}, \omega)$$

folgt:

$$\underline{\Delta \overline{\overline{\vec{E}}}(\vec{r}, \omega) + \frac{\omega^2}{c^2} \varepsilon(\omega) \overline{\overline{\vec{E}}}(\vec{r}, \omega) = 0}. \quad \text{Helmholtz-Gleichung}$$

Für ebene Wellen  $\overline{\overline{\vec{E}}}(\vec{r}, \omega) = \vec{e}(\vec{k}, \omega) e^{i\vec{k}\vec{r}}$  folgt sofort

- Transversalität:  $\operatorname{div} \overline{\overline{\vec{E}}}(\vec{r}, \omega) = i\vec{k} \cdot \vec{e}(\vec{k}, \omega) e^{i\vec{k}\vec{r}} \Rightarrow \vec{k} \cdot \vec{e} = 0,$

- Dispersionsrelation:  $k^2 = \frac{\omega^2}{c^2} \varepsilon(\omega).$

Übergang zum Zeitraum:

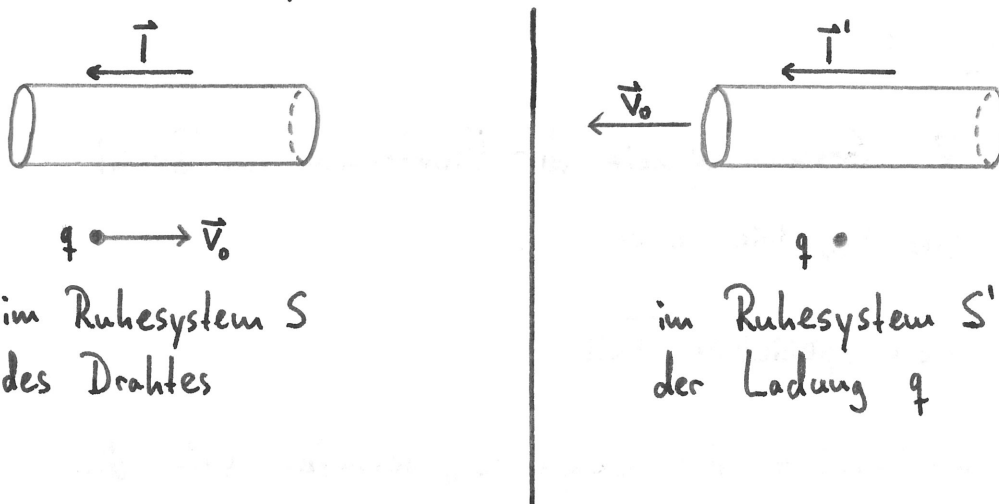
$$\vec{E}(\vec{r}, t) = \int_{-\infty}^{\infty} \vec{e}(\vec{k}, \omega) e^{i(\vec{k}(\omega) \vec{r} - \omega t)} d\omega + \text{c.c.}$$

# Die Relativität elektrischer und magnetischer Felder

$$\vec{F} = q(\vec{E} + \vec{v} \times \vec{B})$$

Bezüglich welchem Inertialsystems wird die Geschwindigkeit  $\vec{v}$  gemessen? Jedes muss geeignet sein!

Wir betrachten einen stromdurchflossenen Draht und eine parallel dazu bewegte Ladung  $q$ ,  $q < 0$ .



beachte:  $\vec{I}$  (bzw.  $\vec{I}'$ ) zeigt entgegen der Elektronenbewegung im Draht.

in  $S$ : magnetische Kraft auf  $q$ , zum Draht hin gerichtet

in  $S'$ : keine magnetische Kraft möglich, da  $q$  in Ruhe

Was nun?!

Betrachtung in  $S$ :

Notation:  $\vec{v}$  - Geschwindigkeit der Elektronen im Draht

$\beta_{(-)}$  - Ladungsdichte der Elektronen

$\beta_{(+)}$  - Ladungsdichte der Ionen im Draht

Der Draht ist elektrisch neutral,  $\beta_{(+)} + \beta_{(-)} = 0$ .

$$|\vec{B}| = \frac{\mu_0 I}{2\pi r}, \quad r - \text{Abstand zum Draht (mittelpunkt)}$$

$$\Rightarrow F = q v_0 B = \frac{\mu_0 I}{2\pi r} q v_0 = \frac{\mu_0 A}{2\pi r} q \beta_{(-)} v v_0$$

$\overline{I} = \beta_{(-)} A \vec{v}$

Für den speziellen Fall  $v = v_0$ :

$$\underline{F = \frac{q}{2\pi \epsilon_0} \frac{\beta_{(-)} A}{r} \frac{v^2}{c^2}}$$

Betrachtung in  $S'$ :

Notation:  $\vec{v}'$  - Geschwindigkeit der Elektronen im Draht  
 $\beta_{(+)}, \beta_{(-)}$  wie zuvor

$v' = 0$  für den speziellen Fall

In einem Drahtstück der Länge  $L_0$  befindet sich die Ladung  $Q = \rho L_0 A = (\beta_{(+)} + \beta_{(-)}) L_0 A = 0$ .

Aber: Für den bewegten Draht gilt der Zusammenhang für die speziell-relativistische Längenkontraktion,  $L'_0 = L_0 \sqrt{1 - \frac{v^2}{c^2}}$ .

Die Ladung ist eine Erhaltungsgröße und invariant unter Lorentz-Transformationen („Lorentz-Skalar“),  $Q = Q'$ .  
Daher muss die Ladungsdichte transformiert werden:

$$Q = Q'$$

$$\rho L_0 A = \rho' L'_0 A \Rightarrow \rho' = \frac{\rho}{\sqrt{1 - \frac{v^2}{c^2}}}.$$

Wir brauchen mehr Notation:

$\beta_{(+),0}$  - Ruheladungsdichte

$\beta_{(+)}$  - Ladungsdichte in S

$\beta'_{(+)}$  - Ladungsdichte in  $S'$ ,

ebenso für  $\beta_{(-),0}$ ,  $\beta_{(-)}$ ,  $\beta'_{(-)}$ .

Auf jeden Fall ist der Draht in S ungeladen,  $0 = \beta_{(+)} + \beta_{(-)}$ .

In S ruhen positive Ladungen, die negativen sind mit v bewegt:

$$\beta_{(+)} = \beta_{(+),0}, \quad \beta_{(-)} = \frac{\beta_{(+),0}}{\sqrt{1-v^2/c^2}};$$

in  $S'$  ruhen negative Ladungen, die positiven sind mit v bewegt:

$$\beta'_{(+)} = \beta_{(+),0}, \quad \beta'_{(-)} = \frac{\beta_{(+),0}}{\sqrt{1-v^2/c^2}}.$$

$$\bullet 0 = \beta_{(+)} + \beta_{(-)} = \beta_{(+),0} + \frac{\beta_{(+),0}}{\sqrt{1-v^2/c^2}} \rightarrow \beta_{(+),0} = -\frac{\beta_{(+),0}}{\sqrt{1-v^2/c^2}}$$

$$\bullet \beta'_{(+)} + \beta'_{(-)} = \frac{\beta_{(+),0}}{\sqrt{1-v^2/c^2}} + \beta_{(+),0} = \beta_{(+),0} \left(1 - \frac{1}{\sqrt{1-v^2/c^2}}\right) \rightarrow \text{Draht geladen!}$$

$$\Rightarrow \overline{F}' = q \overline{E} = -q \frac{\beta' A}{2\pi \epsilon_0 r} = -\frac{q}{2\pi \epsilon_0} (\beta'_{(+)} + \beta'_{(-)}) \frac{A}{r} = \underline{\underline{\frac{q}{2\pi \epsilon_0} \frac{\beta_{(+),0} A}{r} \frac{v^2}{c^2} \frac{1}{\sqrt{1-v^2/c^2}}}}$$

Feld eines geladenen Zylinders

$$\Rightarrow \overline{F} = \underline{\underline{\frac{q}{2\pi \epsilon_0} \frac{\beta_{(+),0} A}{r} \frac{v^2}{c^2} \frac{1}{\sqrt{1-v^2/c^2}}}}$$

Es gilt also  $\overline{F}' = \frac{\overline{F}}{\sqrt{1-v^2/c^2}}$ . Die Kraft transformiert sich

korrekt beim Übergang zwischen den Inertialsystemen.

Die Physik ist konsistent, E- und B-Feld sind untrennbar verbunden!  
Wegen  $v \ll c$  ist B viel schwächer als E.



## Dipolstrahlung

Mit "Strahlung" bezeichnet man die Erzeugung und Emission elektromagnetischer Wellen.

Der Energiefloss wird vom Poynting-Vektor  $\vec{S}(\vec{r}, t)$  beschrieben (Energie/Zeit·Fläche) und die von einer (isselförmigen) Quelle abgestrahlte Leistung vom Oberflächenintegral

$$P(r, t) = \oint_{S_r} \vec{S}(\vec{r}', t) d\vec{f}' = \frac{1}{\mu_0} \oint_{S_r} \vec{E}(\vec{r}', t) \times \vec{B}(\vec{r}', t) d\vec{f}'.$$

Zusätzlich: zeitliche Mittelung  $P(r, t) \rightarrow \langle P \rangle(r)$ ,  
Abstrahlung ins Unendliche  $\lim_{r \rightarrow \infty} \langle P \rangle(r)$

Statische Felder strahlen nicht, denn:

$$\vec{E}(r) \sim 1/r^2, \quad \vec{B}(r) \sim 1/r^2 \Rightarrow \vec{S}(r) \sim 1/r^4$$

$$\text{Kugelfläche } d\vec{f} \sim r^2 \Rightarrow P(r) \sim \frac{1}{r^2} \xrightarrow{r \rightarrow \infty} 0.$$

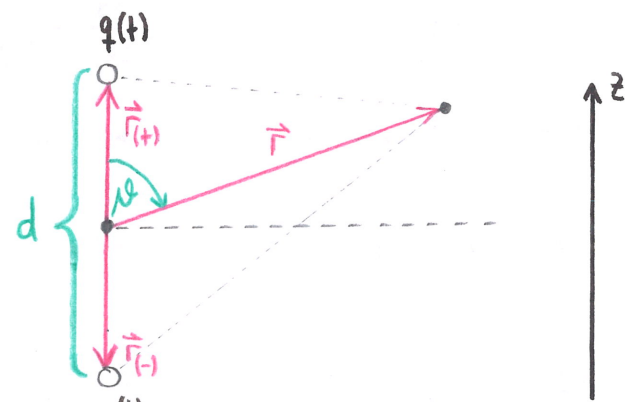
Gegeben seien zwei durch einen Draht verbundene Metallkugeln, deren Ladung sich periodisch mit  $q(t) = q_0 \cos(\omega t)$  ändere.

Dipolmoment (ohne Draht):

$$\vec{p}(t) := \int \vec{r} q(\vec{r}) dV$$

$$= \int \vec{r} [\delta(\vec{r} - \vec{r}_{(+)}') - \delta(\vec{r} - \vec{r}_{(-)}')] q(t) dV$$

$$= (\vec{r}_{(+)} - \vec{r}_{(-)}) q(t) = d q_0 \cos(\omega t) \vec{e}_z = p_0 \cos(\omega t) \vec{e}_z$$



Wir bestimmen das retardierte Potential:

$$\begin{aligned}\phi(\vec{r}, t) &= \frac{1}{4\pi\epsilon_0} \int \frac{q(t - \frac{|\vec{r} - \vec{r}'|}{c})}{|\vec{r} - \vec{r}'|} dV' \\ &= \frac{1}{4\pi\epsilon_0} \left[ \frac{q(t - \frac{|\vec{r} - \vec{r}_{(+)}|}{c})}{|\vec{r} - \vec{r}_{(+)}|} - \frac{q(t - \frac{|\vec{r} - \vec{r}_{(-)}|}{c})}{|\vec{r} - \vec{r}_{(-)}|} \right] \\ &= \frac{q_0}{4\pi\epsilon_0} \left\{ \frac{\cos[\omega(t - \frac{K_{(+)}}{c})]}{K_{(+)}} - \frac{\cos[\omega(t - \frac{K_{(-)}}{c})]}{K_{(-)}} \right\},\end{aligned}$$

$$K_{(\pm)} \equiv \sqrt{r^2 + \left(\frac{d}{2}\right)^2 \mp rd \cos\varphi}.$$

Für das Fernfeld ( $r \gg d$ ) lässt sich eine Taylor-Entwicklung durchführen:

$$\sqrt{1+x} = 1 + \frac{x}{2} - \frac{x^2}{8} \pm \dots, \quad x < 1$$

$$\rightarrow K_{(\pm)} = r \sqrt{1 \mp \frac{d}{r} \cos\varphi + \left(\frac{d}{2r}\right)^2} = r \left[ 1 \mp \frac{d}{2r} \cos\varphi + \mathcal{O}\left(\frac{d^2}{r^2}\right) \right]$$

$$\rightarrow \frac{1}{K_{(\pm)}} = \frac{1}{r} \left[ 1 \pm \frac{d}{2r} \cos\varphi + \mathcal{O}\left(\frac{d^2}{r^2}\right) \right]$$

$$\begin{aligned}\Rightarrow \cos\left[\omega\left(t - \frac{K_{(\pm)}}{c}\right)\right] &\approx \cos\left[\omega\left(t - \frac{r}{c}\right) \pm \frac{\omega d}{2c} \cos\varphi\right] \\ &= \cos\omega\left(t - \frac{r}{c}\right) \cos\left(\frac{\omega d}{2c} \cos\varphi\right) \mp \sin\omega\left(t - \frac{r}{c}\right) \sin\left(\frac{\omega d}{2c} \cos\varphi\right).\end{aligned}$$

weitere Näherung:  $d \ll \lambda$  bzw.  $d \ll \frac{c}{\omega}$

$$\rightarrow \cos\left[\omega\left(t - \frac{K_{(\pm)}}{c}\right)\right] \approx \cos\omega\left(t - \frac{r}{c}\right) \mp \frac{\omega d}{2c} \cos\varphi \sin\omega\left(t - \frac{r}{c}\right)$$

$$\begin{aligned}\Rightarrow \phi(\vec{r}, t) &\approx \frac{q_0}{4\pi\epsilon_0} \left\{ \frac{1}{r} \left( 1 + \frac{d}{2r} \cos\varphi \right) \left[ \cos\omega\left(t - \frac{r}{c}\right) - \frac{\omega d}{2c} \sin\omega\left(t - \frac{r}{c}\right) \cos\varphi \right] \right. \\ &\quad \left. - \frac{1}{r} \left( 1 - \frac{d}{2r} \cos\varphi \right) \left[ \cos\omega\left(t - \frac{r}{c}\right) + \frac{\omega d}{2c} \sin\omega\left(t - \frac{r}{c}\right) \cos\varphi \right] \right\}\end{aligned}$$

$$= \frac{q_0}{4\pi\epsilon_0 r} P_0 \cos\varphi \left[ \frac{1}{r} \cos\omega\left(t - \frac{r}{c}\right) - \frac{\omega}{c} \sin\omega\left(t - \frac{r}{c}\right) \right]$$

(Für  $\omega \rightarrow 0$  erhält man den statischen Grenzfall.)

Für  $r \gg \lambda$  bzw.  $\frac{1}{r} \ll \frac{\omega}{c}$  ist der 2. Term führend:

$$\underline{\underline{\Phi(\vec{r},t) \approx -\frac{q_0}{4\pi\epsilon_0 r} \frac{\omega}{c} p_0 \cos \varphi \sin \omega \left(t - \frac{r}{c}\right)}}.$$

alle Näherungen zusammen:  $d \ll \lambda \ll r$

→ Bsp. Na-D-Linien:  $d \leq 1 \text{ nm}$ ,  $\lambda = 589 \text{ nm}$ ,  $r \geq 1 \text{ cm}$

Zwischen den Metallkugeln fließt der Strom  $\vec{I}(t) = \frac{dq}{dt} \vec{e}_z = -q_0 \omega \sin(\omega t) \vec{e}_z$  und man kann das retardierte Vektorpotential bestimmen:

$$\begin{aligned} \vec{A}(\vec{r},t) &= \frac{\mu_0}{4\pi} \int \frac{\vec{J}(\vec{r}',t - \frac{|\vec{r} - \vec{r}'|}{c})}{|\vec{r} - \vec{r}'|} dV' \\ &= -\frac{\mu_0}{4\pi} q_0 \omega \int_{-d/2}^{d/2} \frac{\sin \omega \left(t - \frac{\sqrt{x^2 + y^2 + (z-z')^2}}{c}\right)}{\sqrt{x^2 + y^2 + (z-z')^2}} dz' \vec{e}_z. \end{aligned}$$

Mit Hilfe der Mittelwertegenschaft (siehe Diskussion Laplace-Gleichung) lässt sich für kleine  $d$  eine Näherung anstellen durch

$$F(0) = \frac{1}{d} [F(-\frac{d}{2}) + F(\frac{d}{2})].$$

$$\Rightarrow \underline{\underline{\vec{A}(\vec{r},t) \approx -\frac{\mu_0}{4\pi r} p_0 \omega \sin \omega \left(t - \frac{r}{c}\right) \vec{e}_z}}$$

Aus den Potentialen folgen die Felder:

$$\vec{E}(\vec{r},t) = -\text{grad } \Phi(\vec{r},t) - \partial_t \vec{A}(\vec{r},t) = \dots = -\frac{\mu_0}{4\pi r} p_0 \omega^2 \sin \varphi \cos \omega \left(t - \frac{r}{c}\right) \vec{e}_x,$$

$$\vec{B}(\vec{r},t) = \text{rot } \vec{A}(\vec{r},t) = \dots = -\frac{\mu_0}{4\pi r} \frac{\omega^2}{c} p_0 \sin \varphi \cos \omega \left(t - \frac{r}{c}\right) \vec{e}_y$$

Das sind monochromatische sphärische Wellen, deren Amplitude mit  $1/r$  fällt. Die Flächen konstanter Phase sind durch  $r = \text{const}$  gegeben.

Poynting-Vektor:

$$\vec{S}(\vec{r}, t) = \frac{1}{\mu_0} (\vec{E}(\vec{r}, t) \times \vec{B}(\vec{r}, t)) = \frac{\mu_0}{c} \left[ \frac{P_0 \omega^2}{4\pi} \frac{\sin^2 \theta}{r} \cos \omega \left( t - \frac{r}{c} \right) \right]^2 \hat{e}_r$$

zeitl. Mittelung:

$$\langle \vec{S} \rangle(\vec{r}) = \frac{1}{2\pi} \int_0^{2\pi} \vec{S}(\vec{r}, \frac{x}{\omega} + \frac{r}{c}) dx = \frac{\mu_0}{32\pi^2} \frac{\omega^4}{c} P_0^2 \frac{\sin^2 \theta}{r^2} \hat{e}_r$$

abgestrahlte Leistung:

$$\langle P \rangle = \int_{S_r} \langle \vec{S} \rangle(\vec{r}') d\vec{f}' = \frac{\mu_0 P_0^2}{32\pi^2} \frac{\omega^4}{c} \int \sin^2 \theta d\theta d\phi = \underline{\underline{\frac{\mu_0 P_0^2}{12\pi} \frac{\omega^4}{c}}}$$

Die mittlere abgestrahlte Leistung ist  $r$ -unabhängig  
(da der Grenzübergang  $r \rightarrow \infty$  bereits implizit in der  
Näherung  $r \gg \lambda$  vorgenommen wurde).